



FPGA/ACAP関連技術のHPC/AIに向けた 取り組みと展望

ザイリンクス株式会社

Adaptive and Embedded Computing Group (AECG)

Data Center and Communications Group (DCCG)

堀江義弘

2022年 5月

アジェンダ

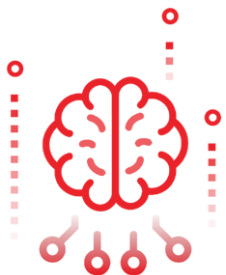
- ▶ 市場ニーズ
- ▶ HPCをターゲットとする製品
- ▶ 最近の取り組み
- ▶ AIをターゲットとする製品
- ▶ ユースケース事例の紹介
- ▶ まとめ

コンピューティングにおける課題



データの爆発的増加

- ▶ ビデオおよび画像コンテンツ
- ▶ 90% 非構造化
- ▶ より高いスループットとリアルタイムの演算能力が求められる



AI 時代の到来

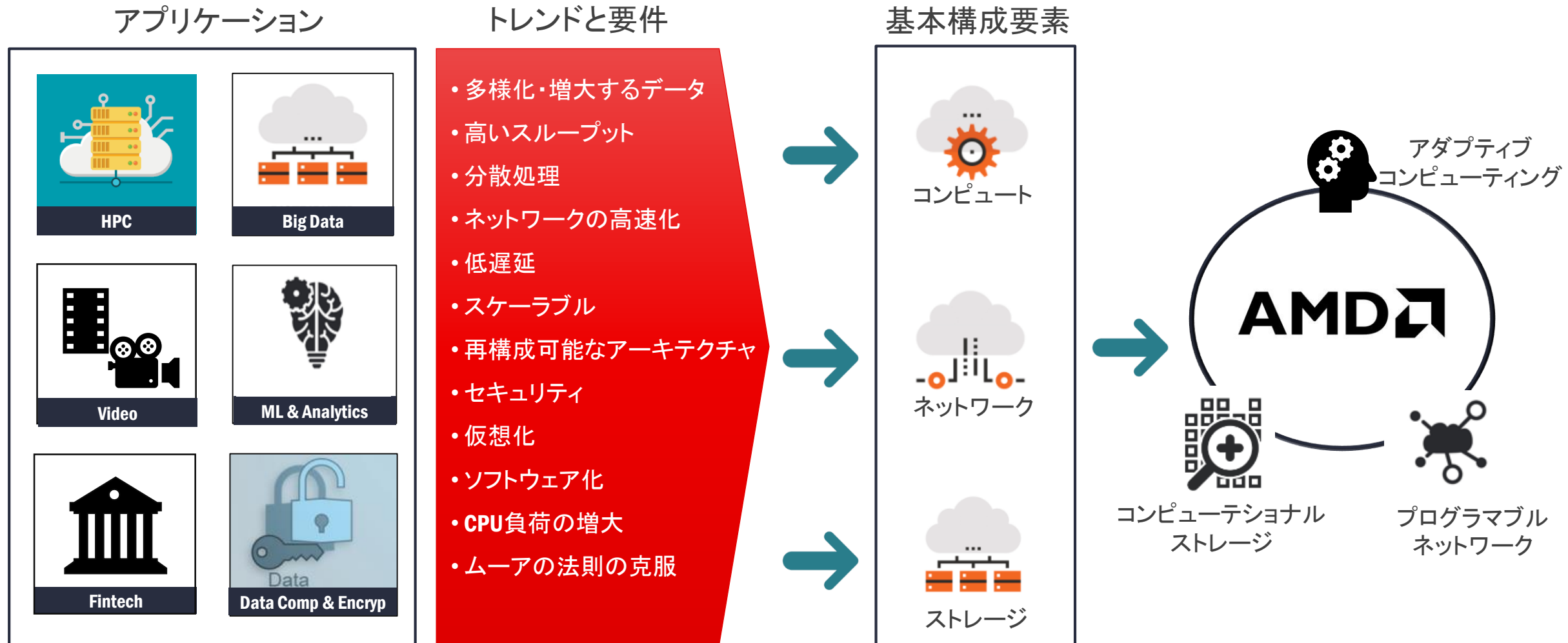
- ▶ アプリケーションに最新のインテリジェンスが追加される
- ▶ エンドポイントからエッジ、クラウドに至るまで、あらゆる業界に浸透
- ▶ すべての場所の AI 処理を高速化する必要がある



「ムーアの法則」後のコンピューティング

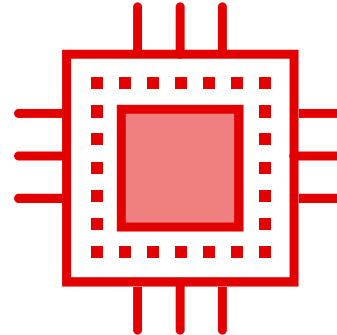
- ▶ 設計サイクルがイノベーションのスピードに追いつかない
- ▶ 多くのアプリケーションが異なるアーキテクチャを必要としている
- ▶ アクセラレータを使用したヘテロジニアス コンピューティングの必要性が高まる

データセンターのトレンドと要件



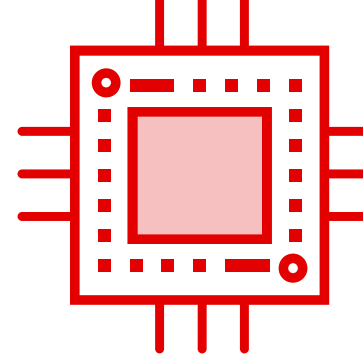
AMD Provides Platforms Enabling Scalable Architecture

適応型プラットフォームの ドメイン特化アーキテクチャ (DSA) の必要性



CPU

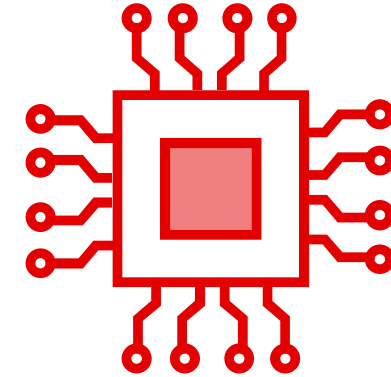
- ▶ SW プログラマブル、広く利用されている
- ▶ 大半のワークロードには非効率的



固定機能アクセラレータ

ASIC/ASSP/GPU

- ▶ 柔軟性に欠ける
- ▶ NRE が高く、シリコン サイクルが長い (ASIC)
- ▶ 消費電力に課題 (GPU)



**適応性に優れた
ハードウェアソリューション**

FPGA / ACAP (Adaptive SoC)

- ▶ 用途に合わせてハードウェアを最適化
- ▶ 進化する要件に迅速に対応



Xilinx Acquisition Creates Industry's **High-Performance and Adaptive Computing Leader**

Industry-Leading
Products

Diversified and
Growing Markets

Data Center
Momentum

Non-GAAP
Margin Expansion

Non-GAAP EPS and
Free Cash Flow
Accretive in 1st year



優れたスループット性能

高いスループットと低レイテンシー
コンピュート、ネットワーク、ストレージ



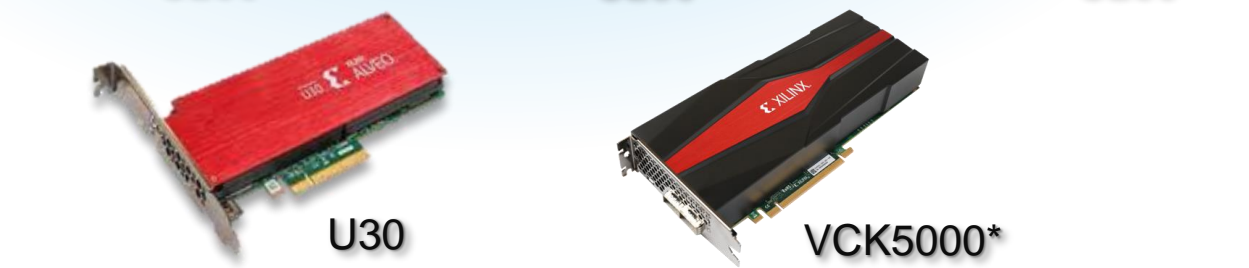
適応性

用途に最適化したアーキテクチャ
ニーズの変化に柔軟・迅速に対応



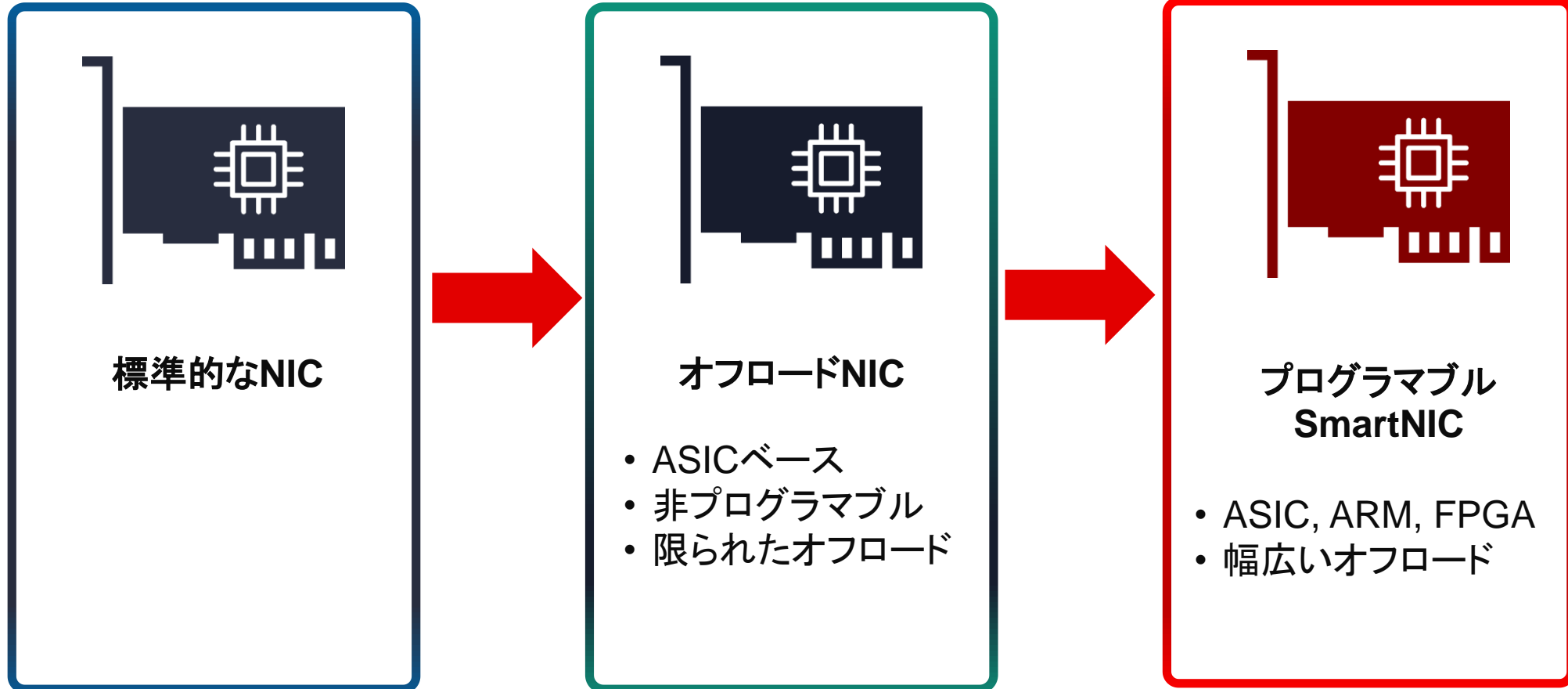
導入が容易

クラウドやオンプレミスで運用
豊富なアプリケーションライブラリ

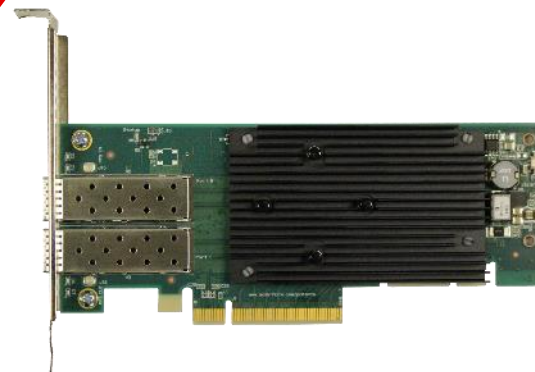


* Versal AI 開発カード

Smart NIC の進化

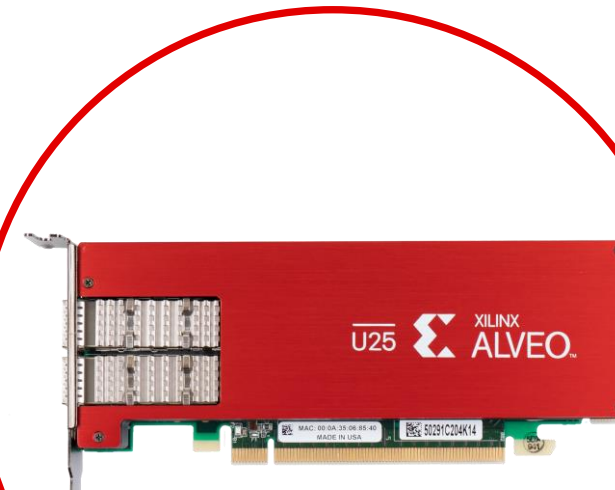


AMD NIC ファミリー



X2

10/25/100Gb オフロードNIC
ASICベース
HHHL PCIe



U25N

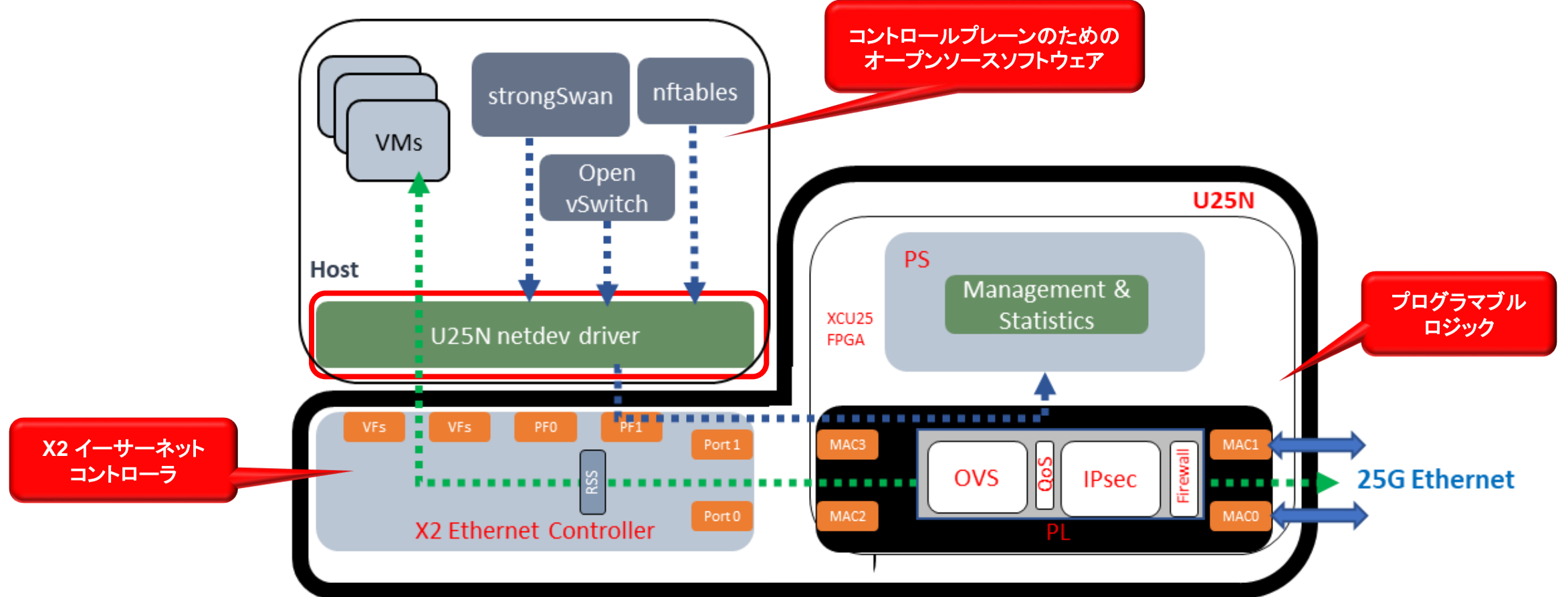
25Gb SmartNIC
ターンキー
HHHL PCIe



SN1022

100Gb SmartNIC
ネットワーク、ストレージ
FHHL PCIe

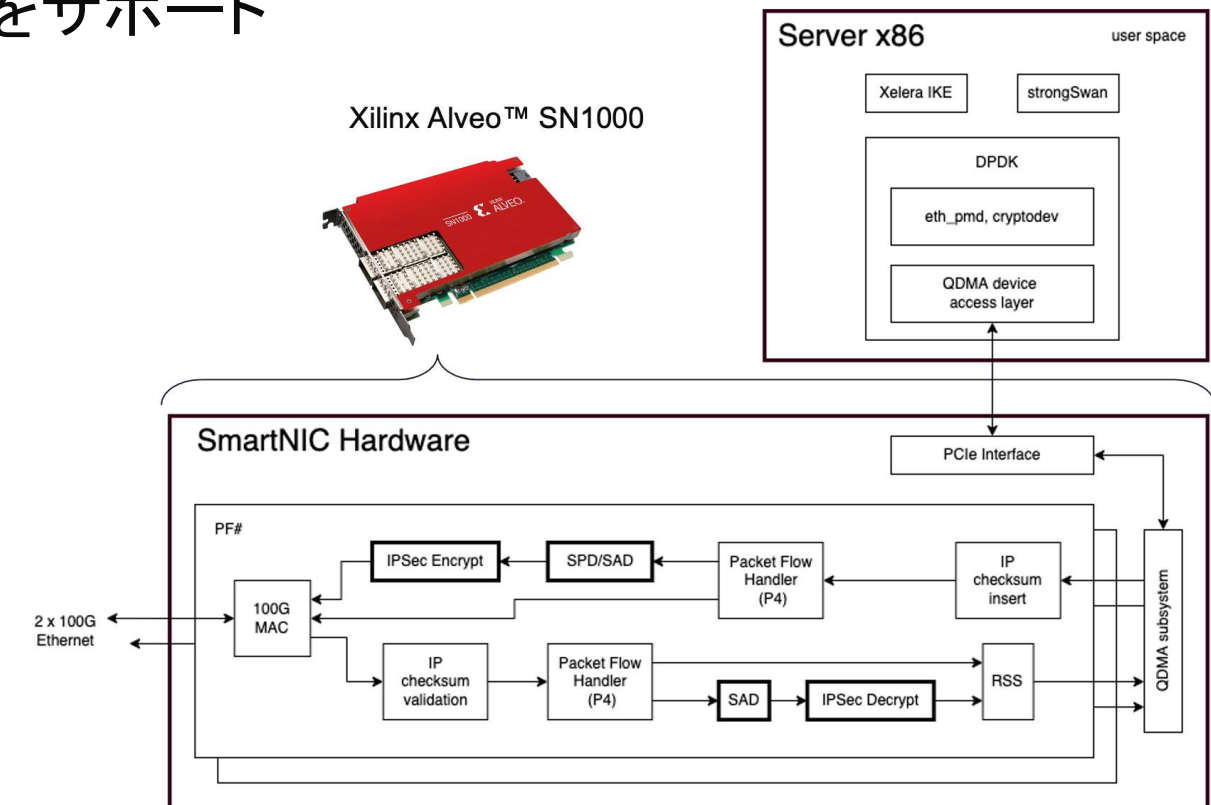
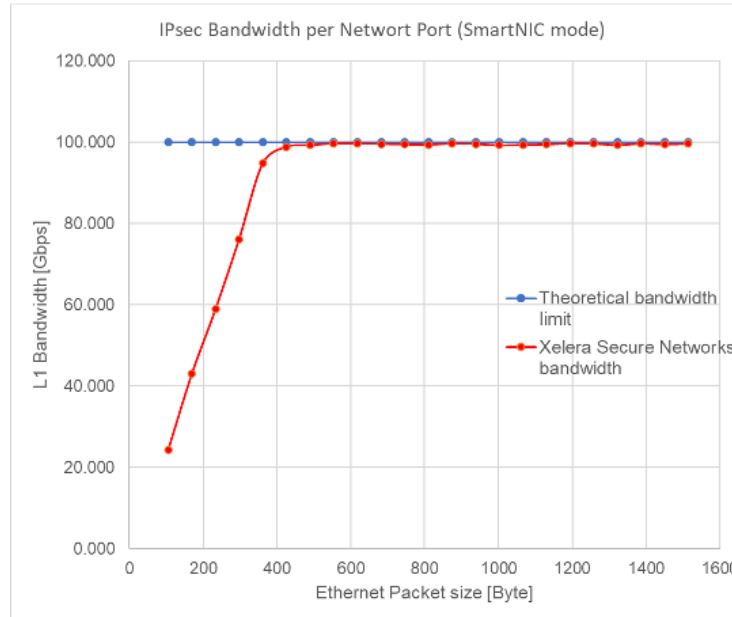
U25N アーキテクチャ



SN1022 活用例 - IPsec 100Gbps x2 -

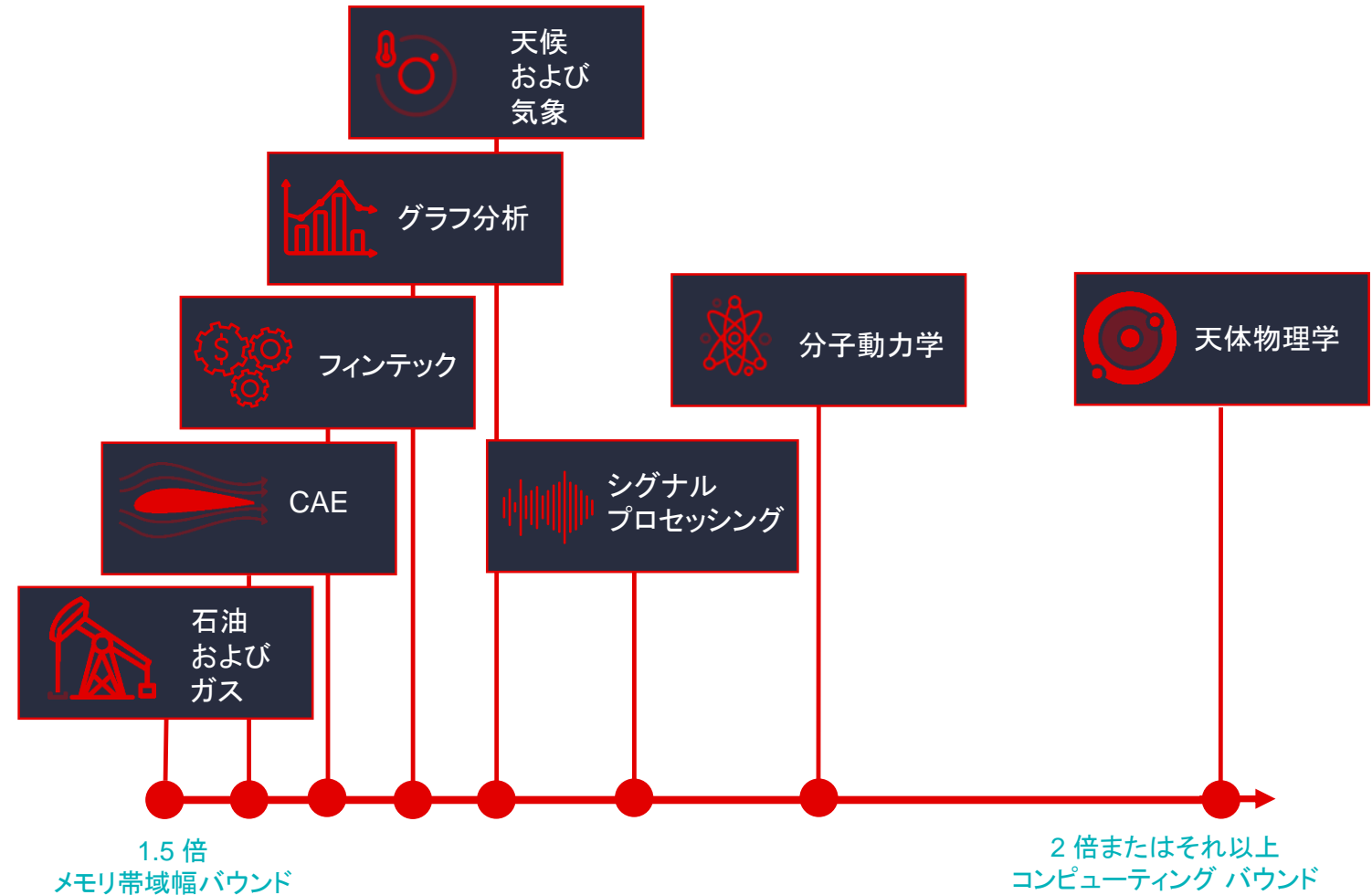
X E L E R A

- ▶ Xelera社 IPsec を実装、2x100Gbps ラインレートを実現
- ▶ トランスポートモード、トンネルモードをサポート



U55C: HPC およびビッグデータ ワークロードに特化した設計

- ▶多くの HPC ワークロードは、コンピューティング バウンドまたはメモリ帯域幅バウンドである…
- ▶I/O 要件は時間の経過と共に指数関数的に増加していく…
- ▶消費電力はデータセンターで大きな問題になっている
- ▶HPCには膨大な計算能力と高帯域メモリの双方が要求される
- ▶これに対応して、ザイリンクス史上最もパワフルなアクセラレータを開発し、容易に拡張可能にした



AMDザイリンクス最高性能のアクセラレータ



		Alveo U280	Alveo U55C
寸法	幅	デュアル スロット	シングル スロット
	フォーム ファクター、パッシブ フォーム ファクター、アクティブ	フルハイ、 $\frac{3}{4}$ レングス フル ハイ、 フルレンジス	フル ハイ、 ハーフレンジス
ロジック	ロックアップ テーブル	1,304K	1,304K
	レジスタ	2,607K	2,607K
	DSP スライス	9,024	9,024
DRAM メモリ	DDR フォーマット	2x 16GB 72b DIMM DDR4	—
	DDR 総容量	32GB	—
	DDR 最大データ レート	2400MT/s	—
	DDR 総帯域幅	38GB/s	—
	HBM2 総容量	8GB	16GB
	HBM2 総帯域幅	460GB/s	460GB/s
内部 SRAM	総容量	43MB	43MB
	総帯域幅	35TB/s	35TB/s
インターフェイス	PCI Express®	Gen3 x16	Gen3 x16、2x Gen4 x8
	ネットワーク インターフェイス	2x QSFP28	2x QSFP28
電源/熱管理	冷却	パッシブ、アクティブ	パッシブ
	標準電力	100W	115W
	最大電力	225W	150W

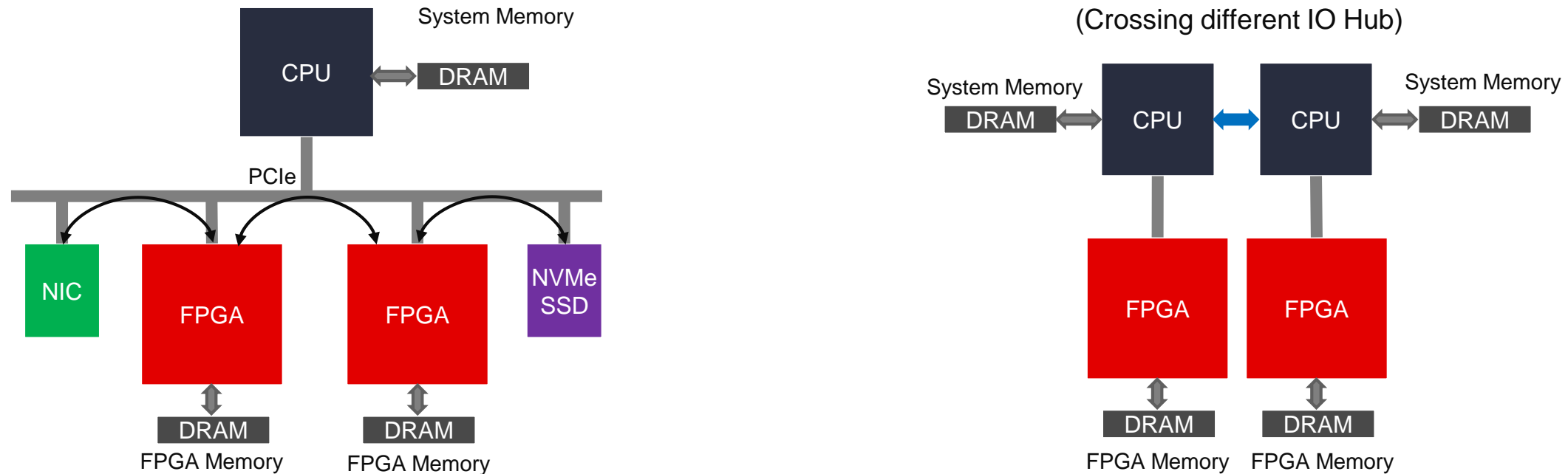
PCIe Peer-to-Peer (P2P)

<https://xilinx.github.io/XRT/master/html/p2p.html>

- ▶ Direct data transfer between FPGAs or other PCIe devices without using the host CPU memory

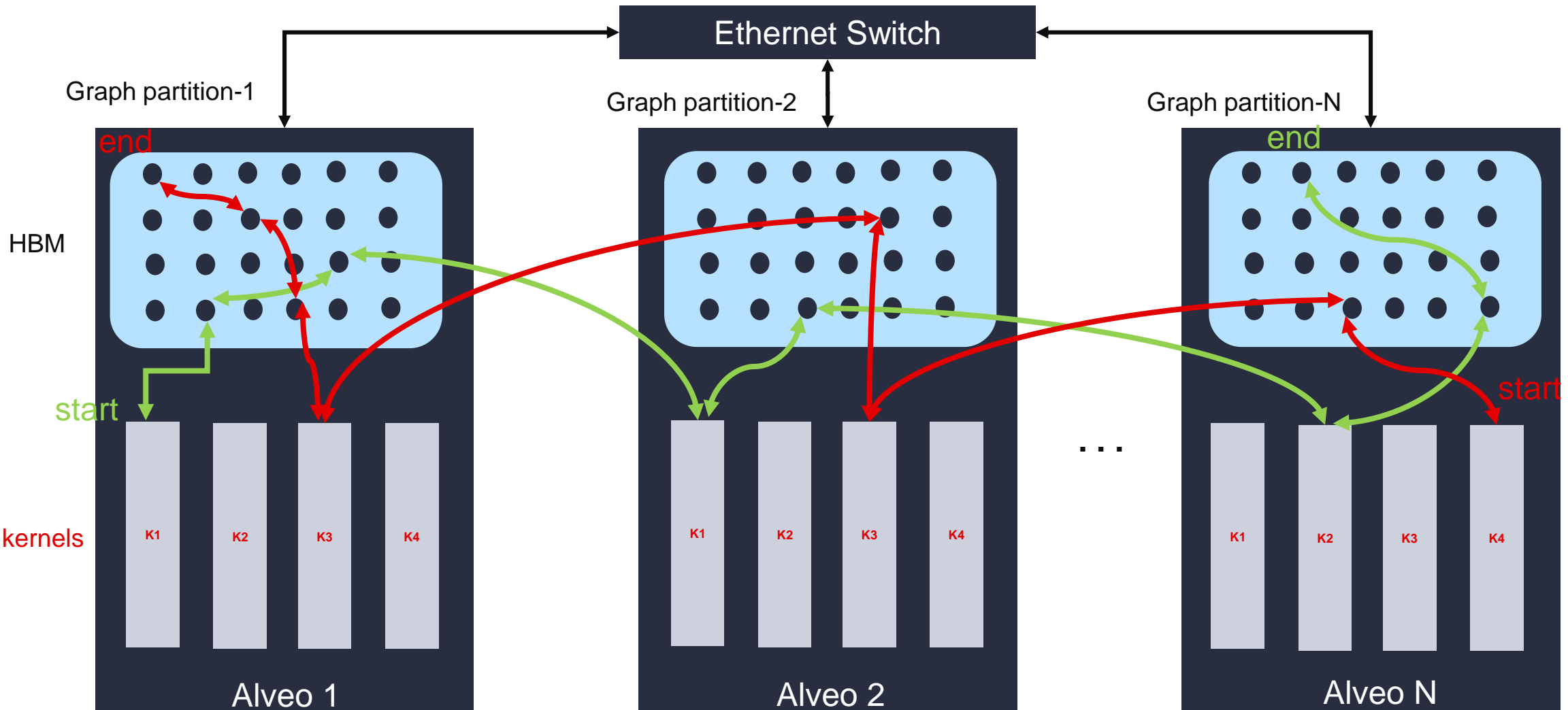
Not Supported

(Crossing different IO Hub)



- ▶ P2P Example between FPGA and NVMeSSD
 - https://github.com/Xilinx/Vitis_Accel_Examples/tree/master/host/p2p_simple
 - https://github.com/Xilinx/Vitis_Accel_Examples/tree/master/host/p2p_bandwidth

Example : N-hop query for ML Feature Extraction



Large number of U55C networked using Ethernet for big graph

Heterogeneous Accelerated Compute Clusters (HACC) program

- ▶ A special initiative to support novel research in adaptive compute acceleration for high performance computing (HPC).
- ▶ The scope of the program is broad and encompasses systems, architecture, tools and applications.
- ▶ This program was previously known as the XACC program - Xilinx Adaptive Compute Clusters.

(ご参考)

紹介サイト; <https://japan.xilinx.com/support/university/XUP-XACC.html>

紹介サイト(動画); <https://japan.xilinx.com/program/developer-program/adapt-2021-session-videos/xacc-research-initiative.html>



<https://xilinx.github.io/xacc/>

Priority research areas for the HACCs include:
Adaptive compute acceleration
High performance computing (HPC)
Machine Learning
Database acceleration
Energy efficiency
Compilers
IOT
Computer architecture

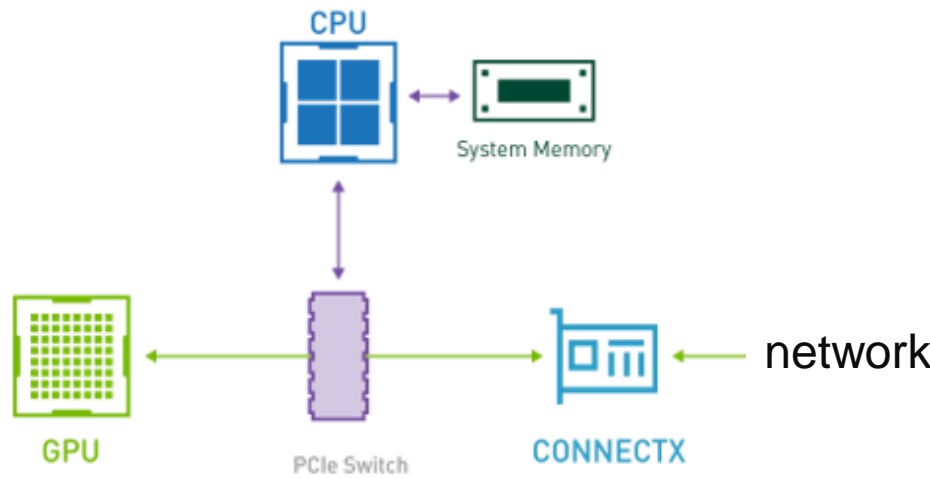
ACCL: FPGA-Accelerated Collectives over 100 Gbps

TCP-IP - Architecture -

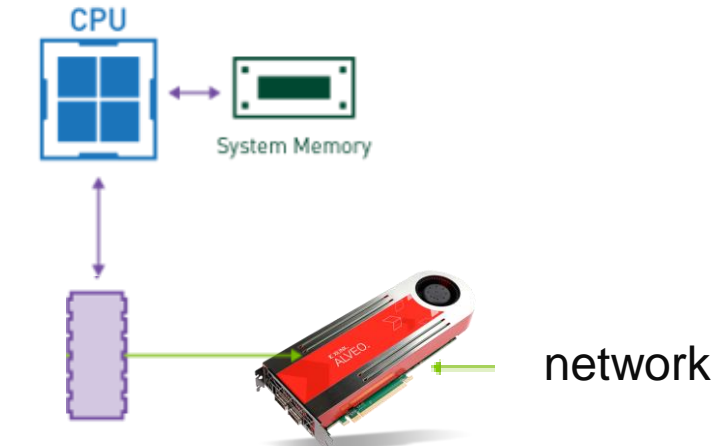
ACCL is a Vitis kernel and associated Pynq and XRT drivers which together provide MPI-like collectives for Xilinx FPGAs. ACCL is designed to enable compute kernels resident in FPGA fabric to communicate directly under host supervision but without requiring data movement between the FPGA and host. Instead, ACCL uses Vitis-compatible TCP and UDP stacks to connect FPGAs directly over Ethernet at up to 100 Gbps on Alveo cards.

- ▶ MPI for CPUs
 - OpenMPI

- ▶ MPI-like lib for GPUs
 - NCCL and RCCL



- ▶ MPI-like lib for FPGAs
 - Direct access to network
 - Process on network data



<https://xilinx.github.io/xacc/publications.html>

[Paper](#) [GitHub](#)

FPGA Collective - State of the art

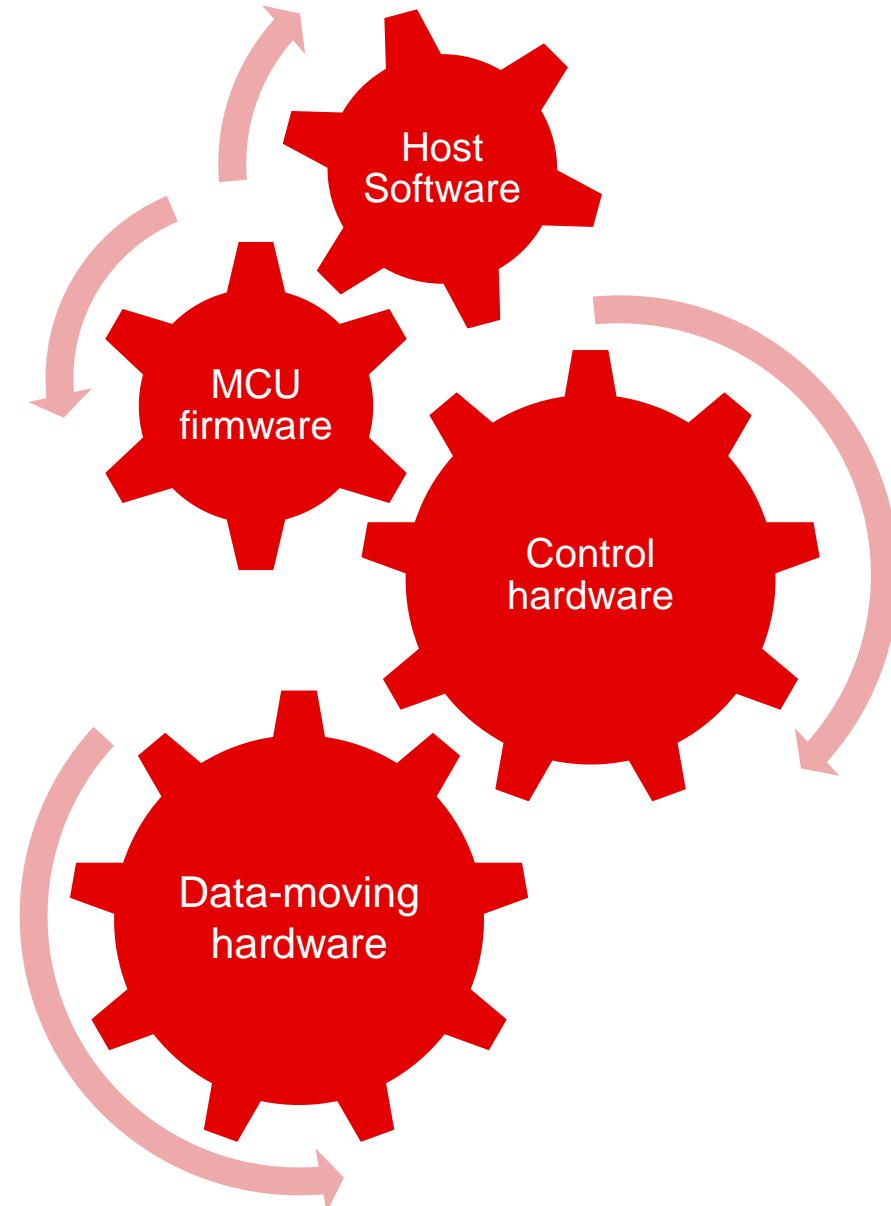
- ▶ Existing FPGA-based collective solutions fall short in certain aspects

Solution	Performance	Flexibility	Portability
Easynet	High (~90 Gbps)	Low	High
SMI	Medium (~40 Gbps)	Low	Low
Galapagos	Low (< 10Gbps)	Low	High
ZRLMPI	Low (< 10Gbps)	Low	High
TMD-MPI	Low (< 10Gbps)	High	Low
ACCL(OUR)	High (~80 Gbps)	High	High

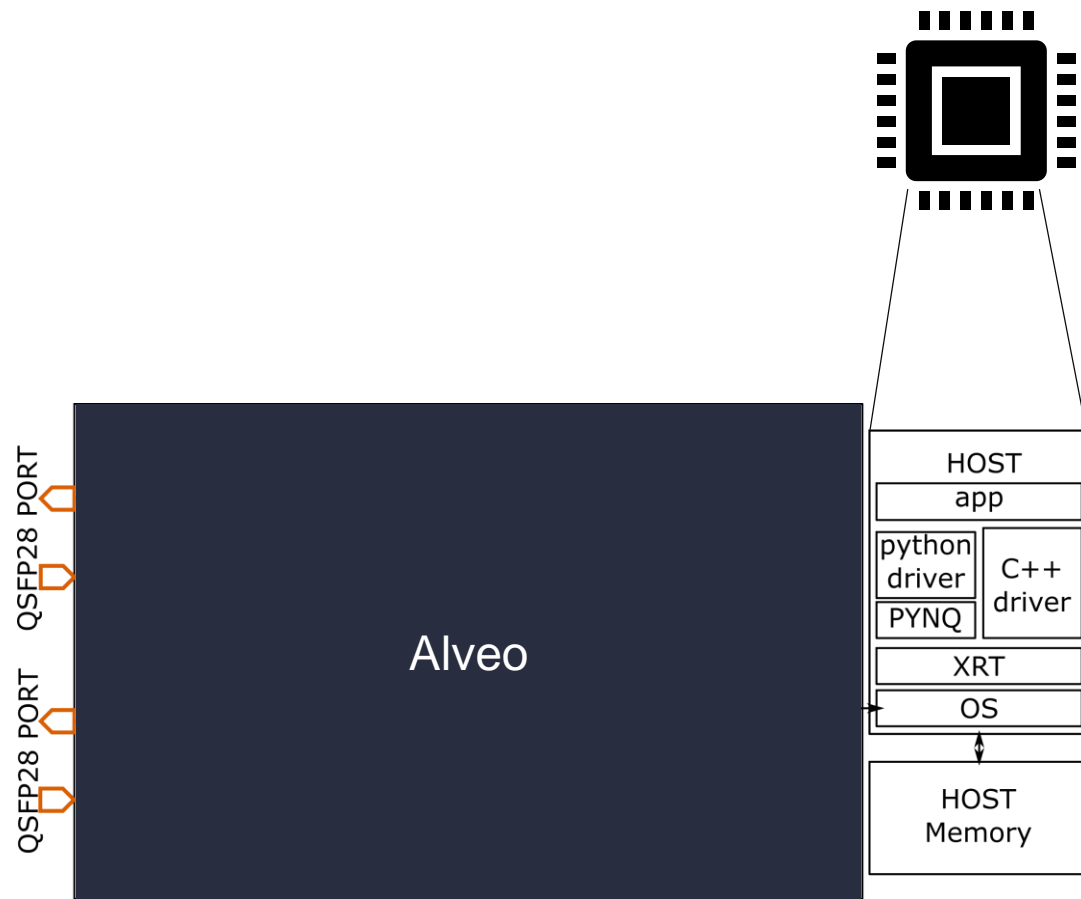
ACCL Overview

ACCL ; Accelerated Collective Communication Library

<https://github.com/Xilinx/ACCL>



ACCL Host Overview



Main modules:

- ▶ Software Stack
 - User application
 - ACCL drivers (Python or C++)
 - Xilinx Run-Time (XRT)

ACCL Host Software Example (Distributed NN Inference)

```
from pynq import Overlay, allocate
from mpi4py import MPI
#receive binfile, ranks_dict as inputs
ol = Overlay(binfile)
accl = ol.cclo
rank = MPI.COMM_WORLD.Get_rank()
bs = 16384

accl.setup_rx_buffers(nbufs=16, bufsize=bs,
devicemem=ol.bank0)
accl.configure_communicator(ranks_dict, rank)
accl.open_port(); accl.open_con()

txb=allocate((bs,), target=ol.bank0)
rxb=allocate((bs,), target=ol.bank0)

ch = accl.scatter(root=0, txb,
rxb, from_fpga=True, async=True)

ch = nn_accelerator.call(rx_buffer, waitfor=[ch])

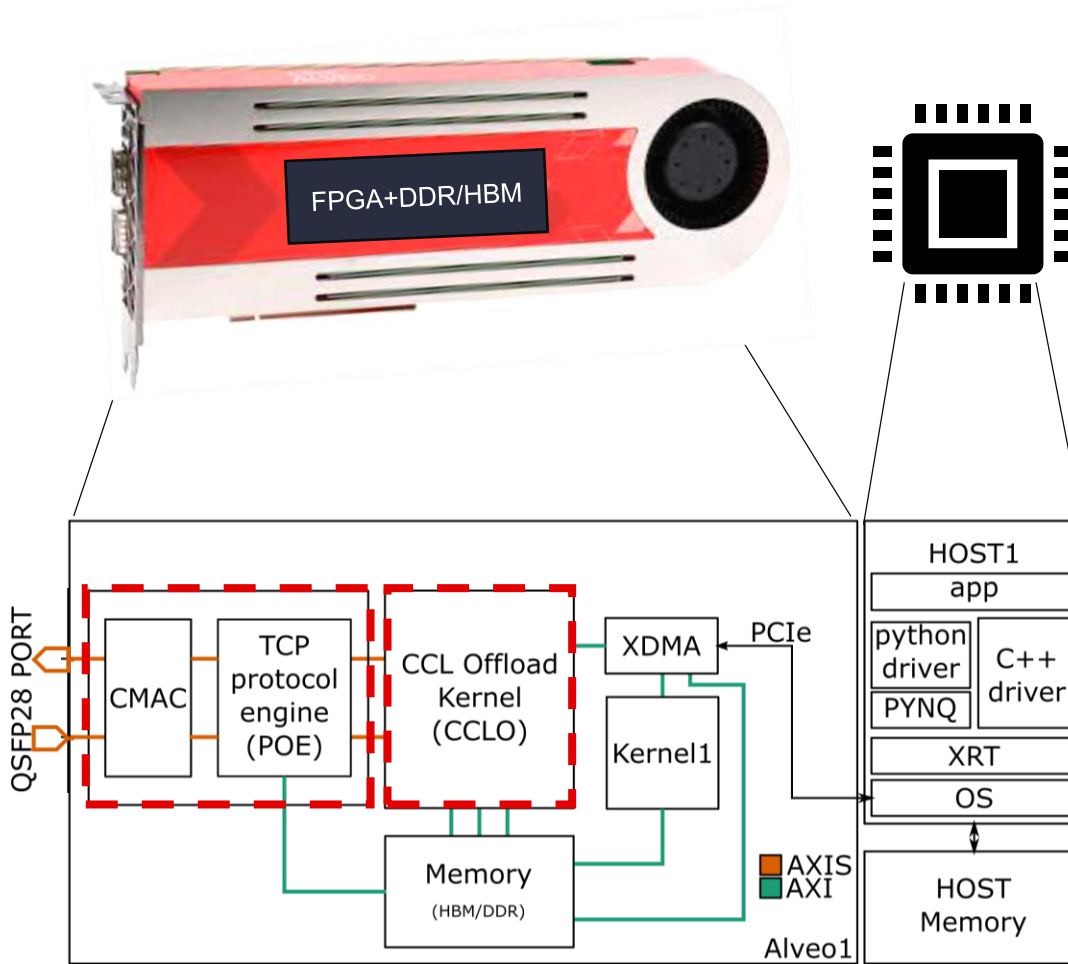
accl.gather(root=0, txb, rxb, to_fpga=True, async=False,
waitfor=[ch])

accl.deinit() #releases FPGA memory, resets CCLO
```

ACCL collectives:

- ▶ Initialize communicator
- ▶ Allocate memory
- ▶ Invoke collectives:
 - Pass buffer pointers
 - Move data to FPGA (optional)
- ▶ Non-blocking collective calls in host
 - Asynch calls to pipeline collectives
 - Chaining execution

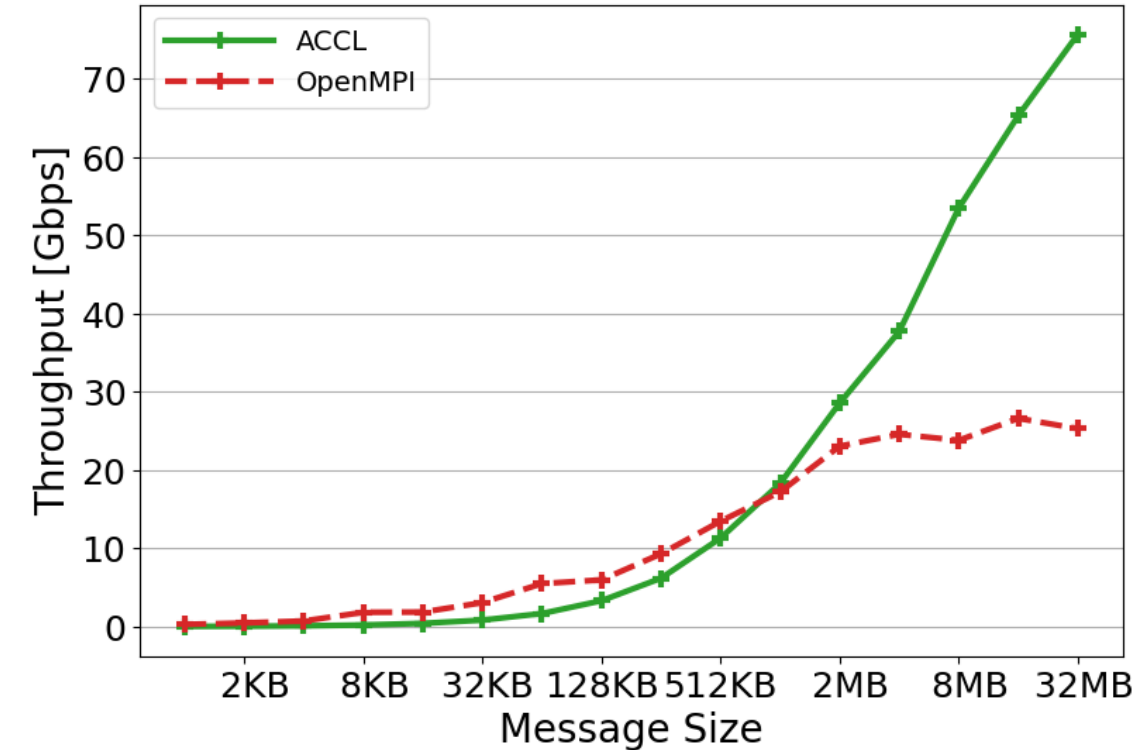
ACCL FPGA Overview



- ▶ Collective Offload engine (CCLO)
- ▶ Network Protocol Offload Engine (TCP/UDP POE)
- ▶ Interfaces to external Vitis kernels that access ACCL via:
 - Streaming interfaces
 - Off-chip memory (DDR/HBM)

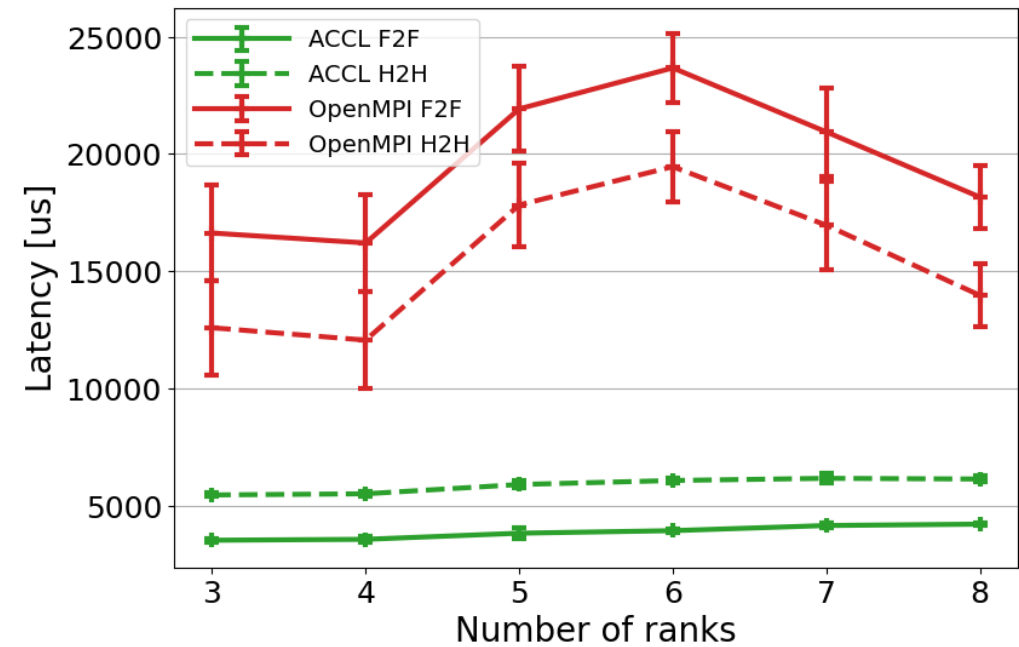
Send&Recv throughput

- ▶ Performance on U280 and U250 is similar, showing that our design is **portable**
- ▶ ACCL achieves **higher throughput** than OpenMPI for messages larger than 1MB
- ▶ Large message size to compensate initialization overhead



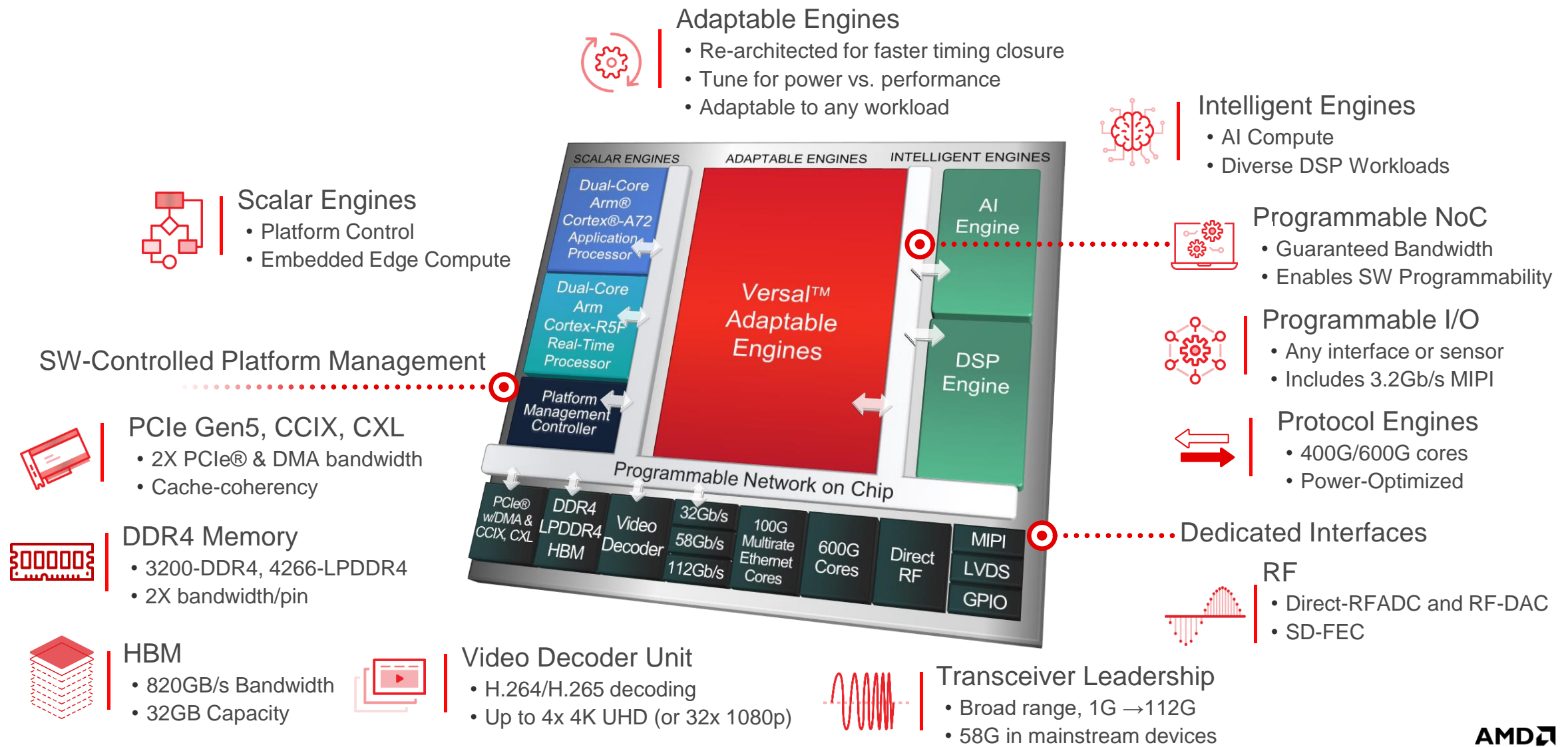
Scalability and Resource Consumption

- ▶ All-reduce
 - from 3 to 8 ranks
 - message size 8MB
 - 100 runs, average & variance
- ▶ Compared to OpenMPI, ACCL has
 - Lower increase in execution time
 - Lower jitter
- ▶ Resource consumption
 - Major dedicated to TCP POE
 - ACCL takes 15% LUTs on a U250
 - Enough space for computation kernel

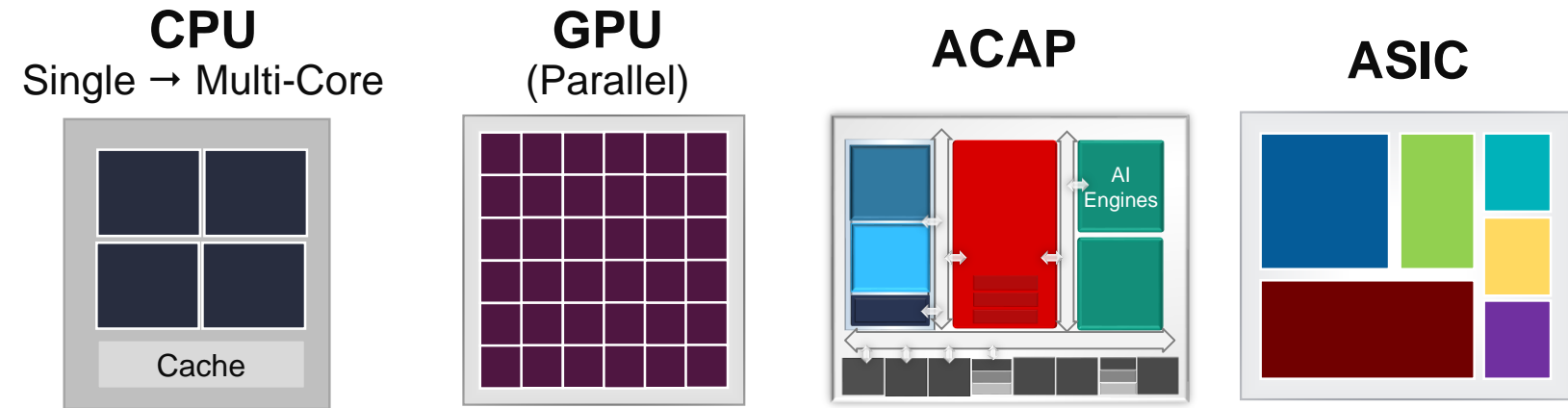


Component	kLUT	DSP	BRAM18	URAM
CCLO	78	56	169	0
TCP POE	111	0	813	1
UDP POE	23	0	115	0
CMAC	12	0	34	9

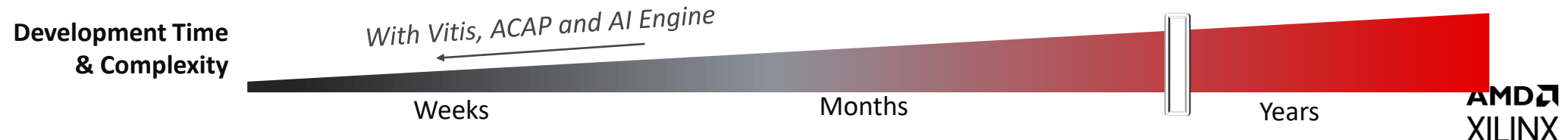
Versal™ Architecture - Comprehensive Overview



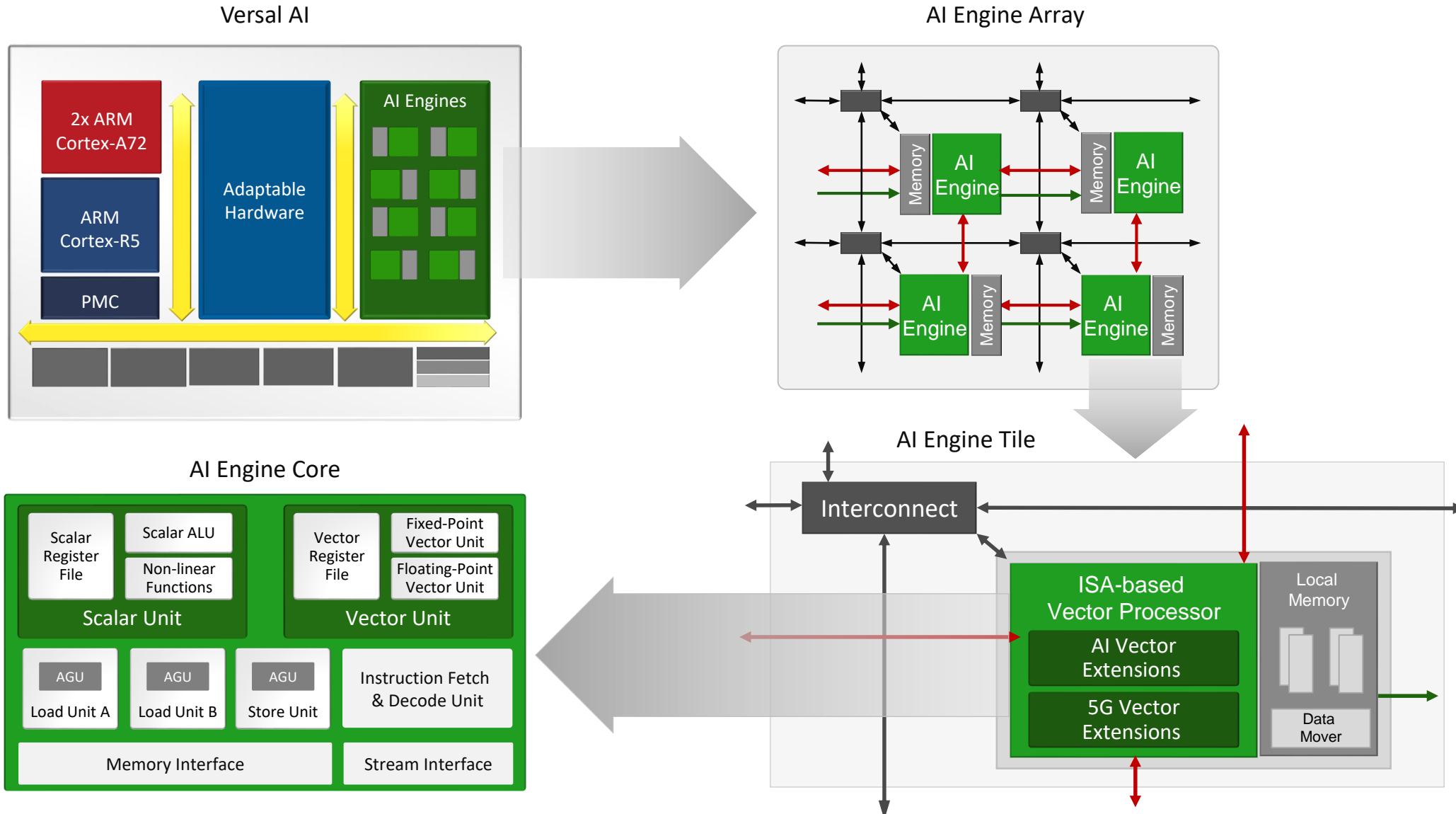
Delivering Adaptable Compute Acceleration



SW Programmable	✓	✓	✓	✓
HW Adaptable	-	-	✓	-
Workload Flexibility	✓	✓	✓	-
Throughput vs. Latency	-	-	✓	✓
Power Efficiency	-	-	✓	✓



AI Engine: Terminology



AI Engine Tile

AI Engine

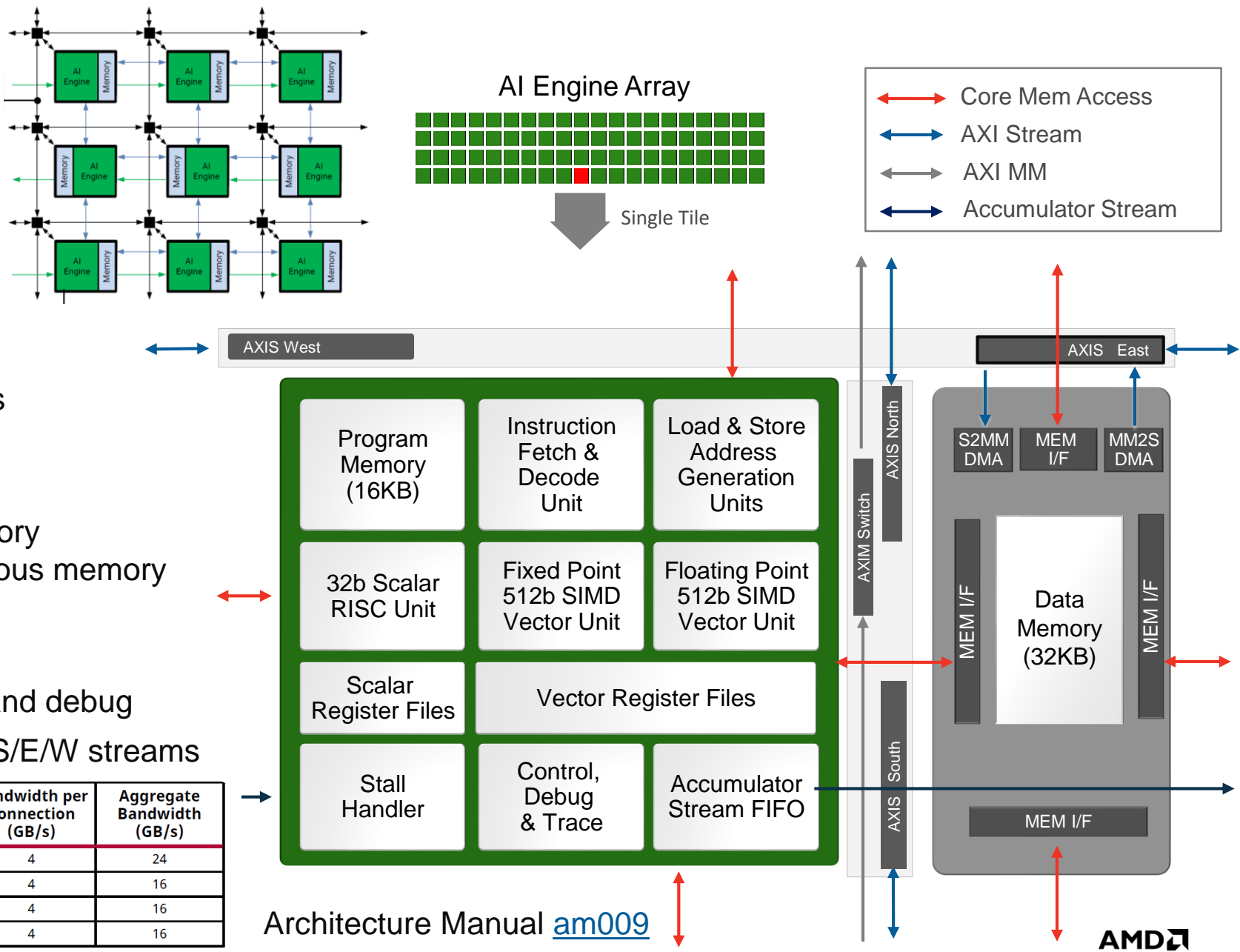
- > 1+ GHz VLIW / SIMD AI Engine
- > 32-bit Scalar RISC processor
- > Fixed and floating point vector units

Data Memory

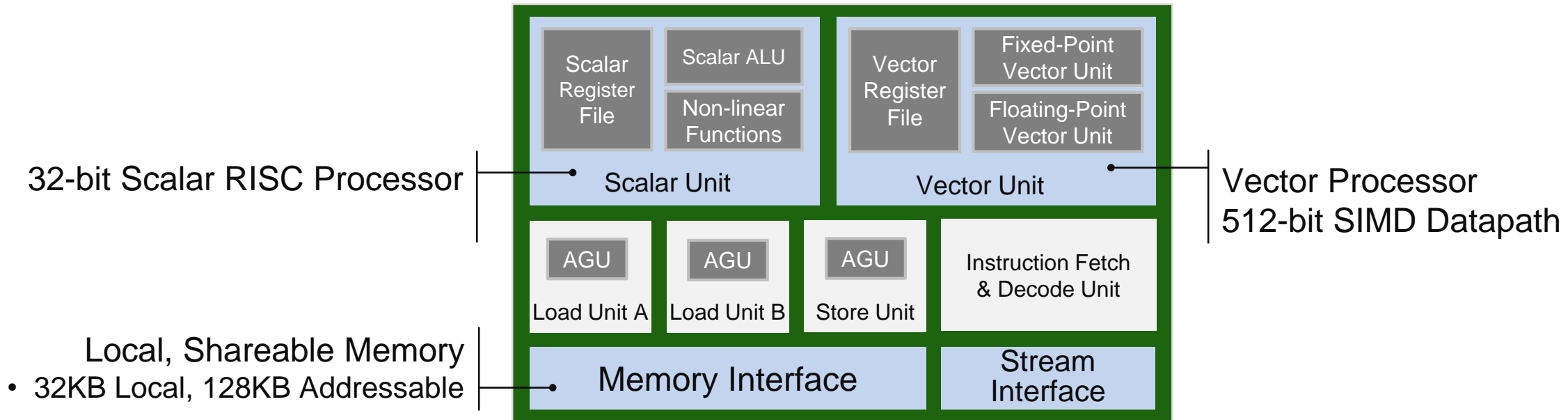
- > Each AI Engine can access 4 Memory Modules (N,E,S,W) as one contiguous memory

Interconnect

- > AXI-MM switch for config, control, and debug
- > AXI-Stream crossbar for routing N/S/E/W streams



AI Engine: Highly Parallel Processor Core



Instruction Parallelism: VLIW

7+ operations / clock cycle

- 2 Vector Loads / 1 Mult / 1 Store
- 2 Scalar Ops / Stream Access

Highly
Parallel

Data Parallelism: SIMD

Multiple vector lanes

- Vector Datapath
- 8 / 16 / 32-bit & SPFP operands

Up to 128 MACs / Clock Cycle per Core (INT 8)

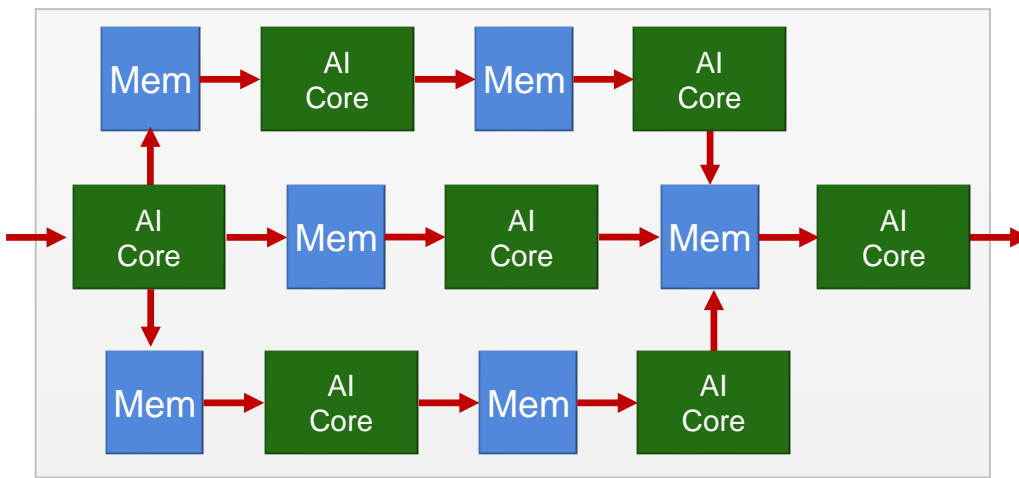
Data Movement Architecture

Memory Communication

Dataflow Pipeline



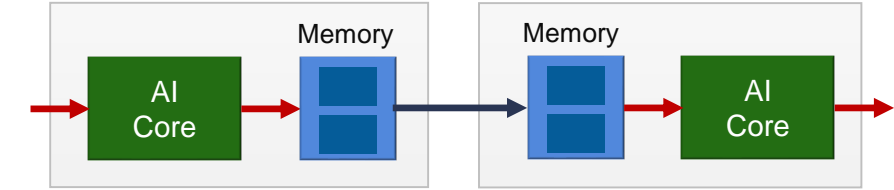
Dataflow Graph



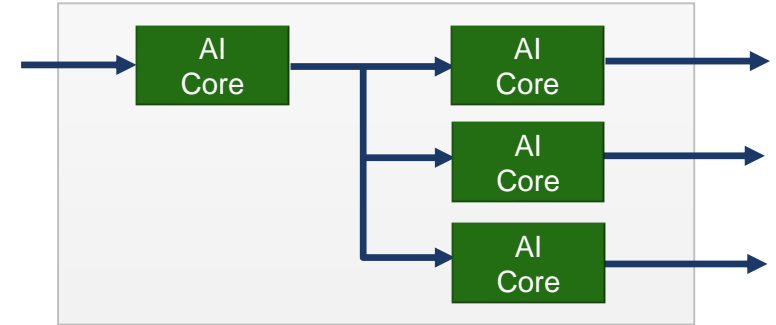
—→ Memory Interface
—→ Stream Interface
—→ Cascade Interface

Streaming Communication

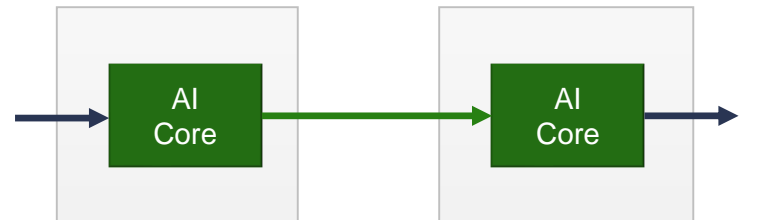
Non-Neighbor



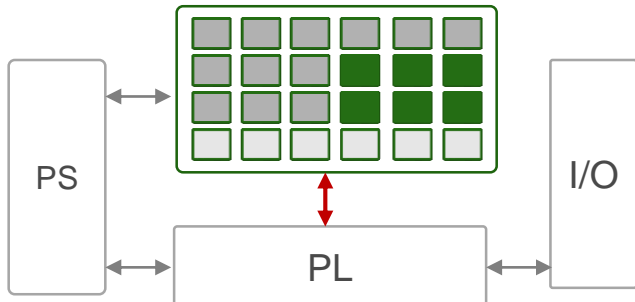
Streaming Multicast



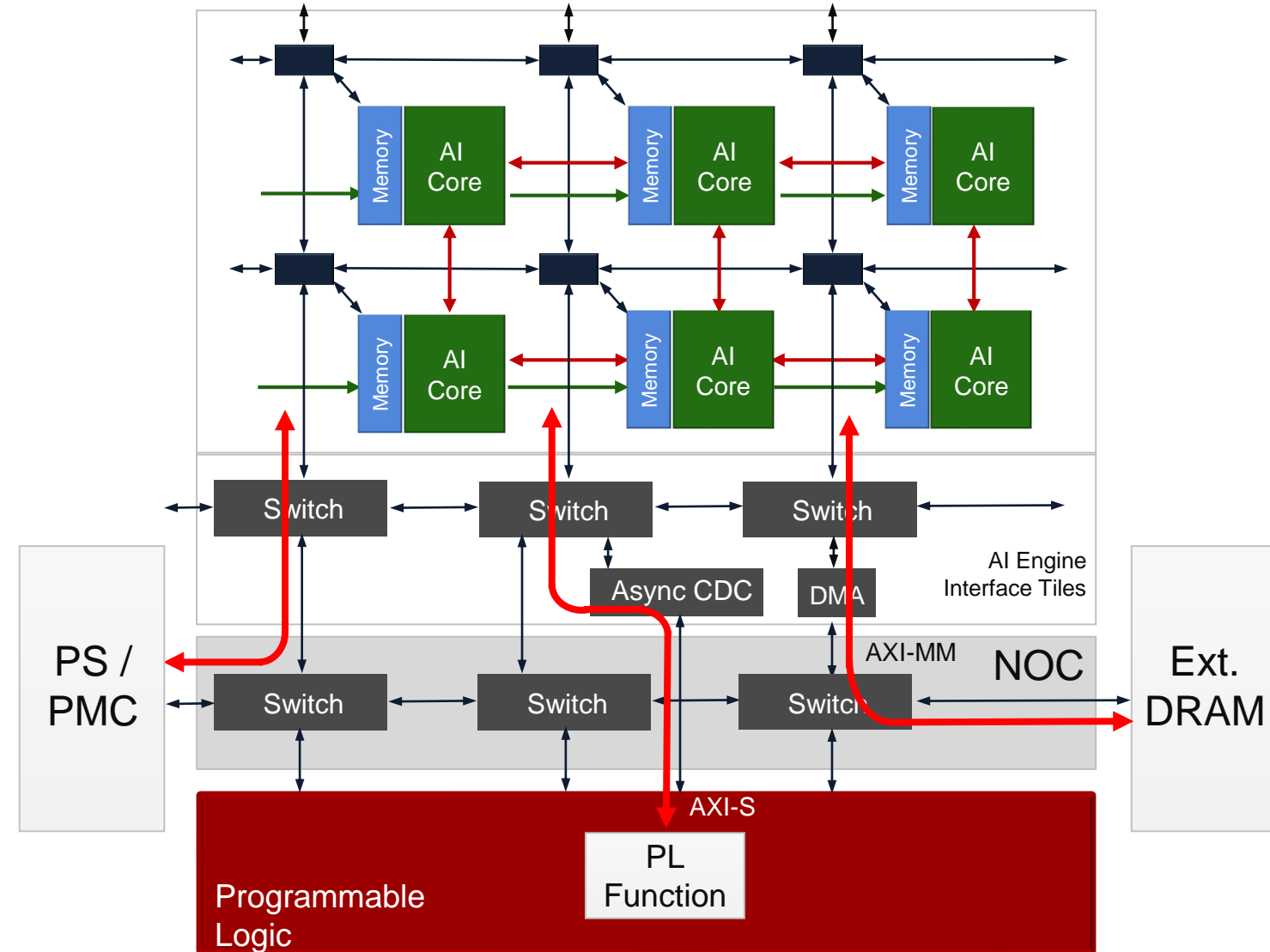
Cascade Streaming



AI Engine Integration with Versal

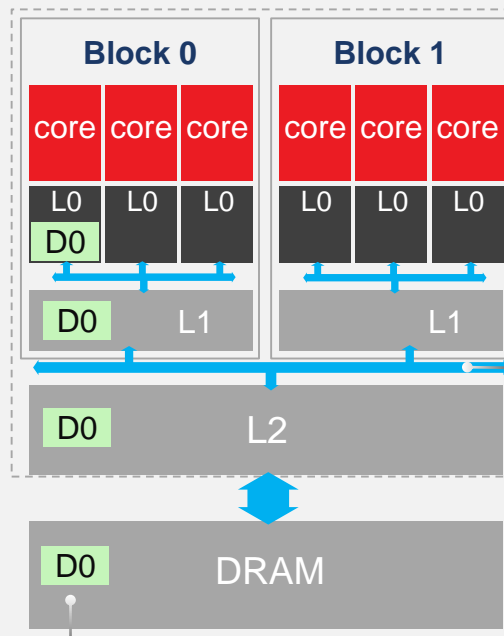


- > **TB/s of Interface Bandwidth**
 - » AI Engine to Programmable Logic
 - » AI Engine to NOC
- > **Leveraging NOC connectivity**
 - » PS manages Config / Debug / Trace
 - » AI Engine to DRAM (no PL req'd)



AI エンジン: マルチコア コンピュートに革新をもたらす

従来のマルチコア (キヤツシユ アーキテクチャ)



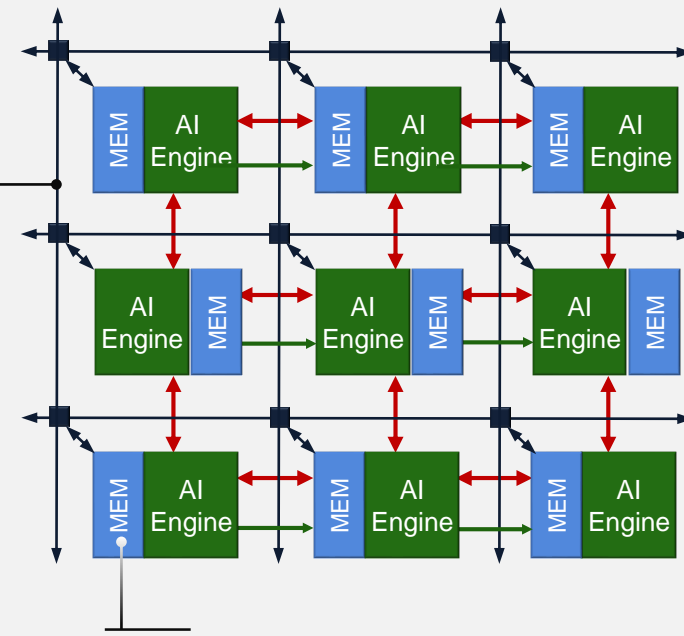
- 固定した共有接続
- システム性能を制約
- レイテンシーの大幅なばらつき

- ・データの複製
- ・レイテンシーの大幅な増大とばらつき
- ・帯域不足による性能制約
- ・消費電力の大幅な増大

AI エンジン アレイ (インテリジェント エンジン)

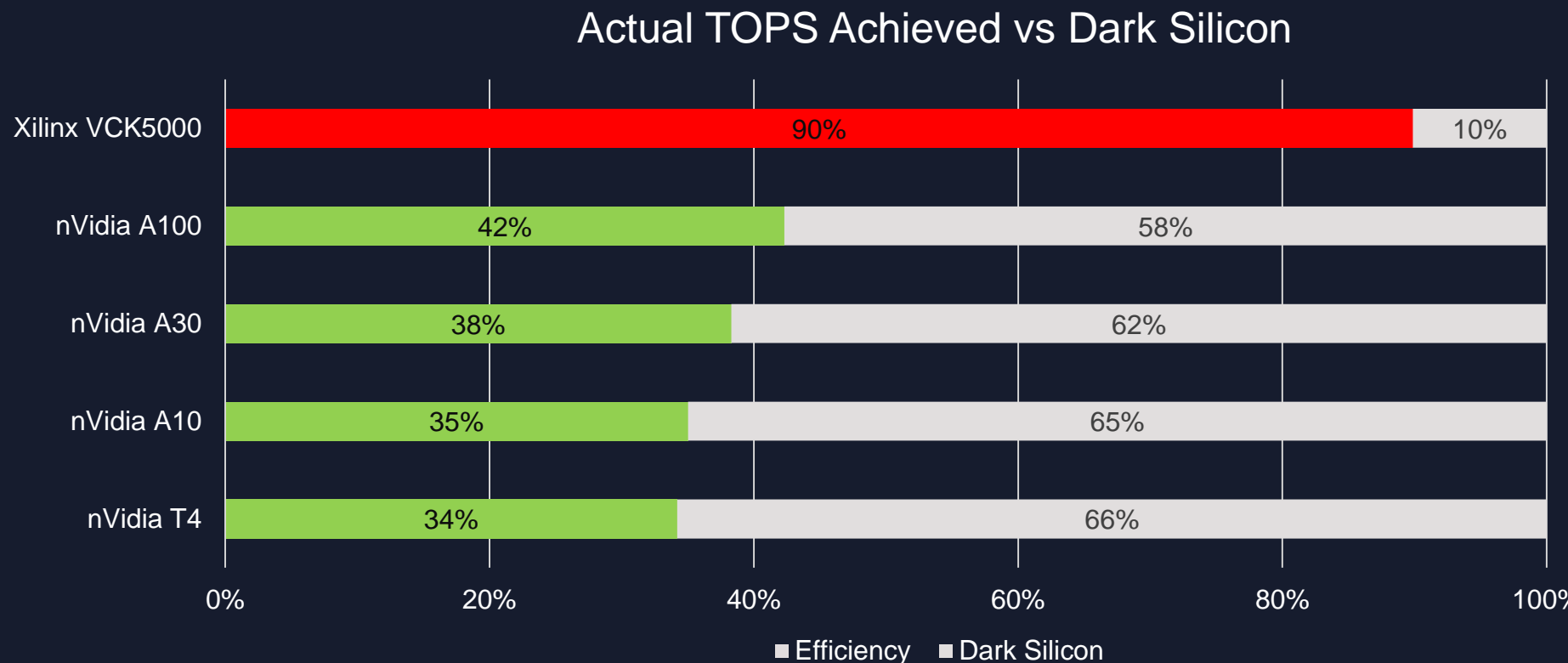
専用の接続

- ・システム性能の制約
とならない
 - ・レイテンシーは短く、
かつ確定的



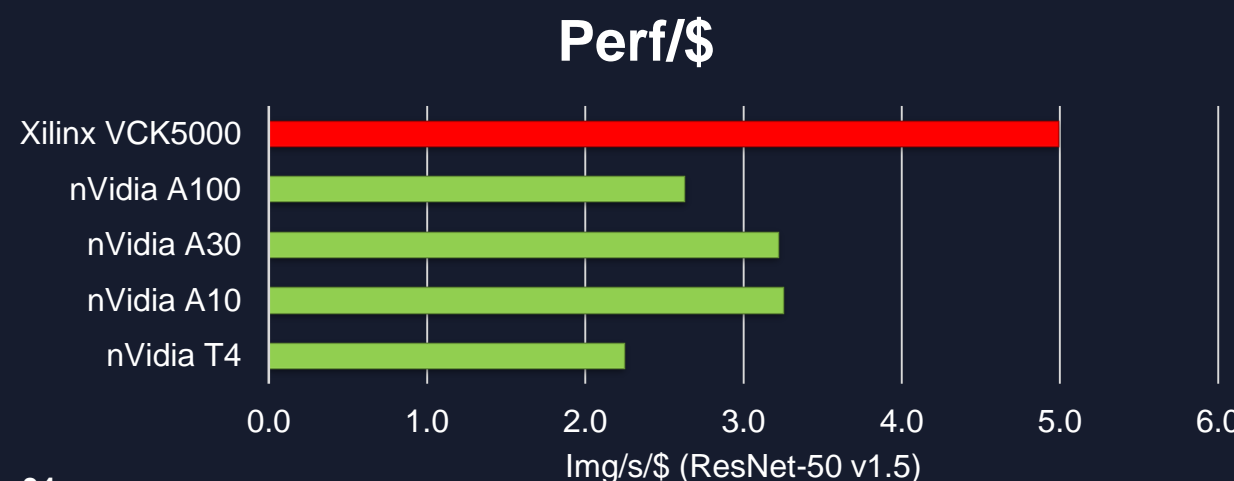
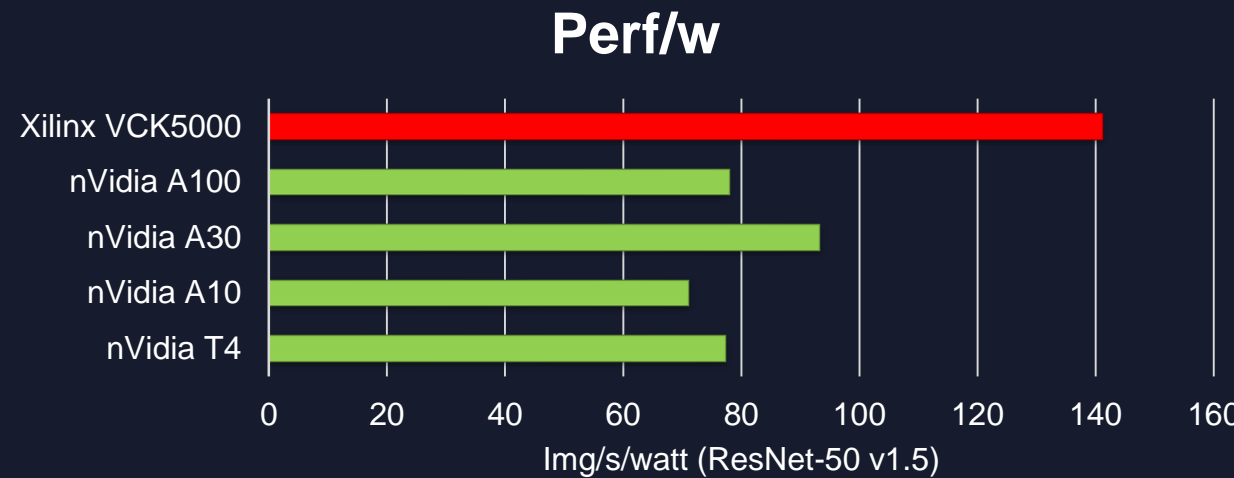
- 密結合したメモリを分散
- キャッシュミスは無し
- レイテンシーは短く、かつ確定的
- システム性能の制約とならない高帯域
- 全体のメモリサイズを節約
- 消費電力を大幅に低減

The World's First "0 Dark Silicon" AI Accelerator



Near 100% efficiency: Achieving True Peak TOPS at Real AI Model Workloads

Double Performance / Watt / \$ vs Nvidia Flagship AI Cards



	ResNet-50 (img/s)	Power	SRP**
VCK5000	13,700	97W	\$2,745
A100 SXM	32,204	413W	\$12,235*
A30	15,411	165W	\$4,787
A10	10,676	150W	\$3,283
T4	5,423	75W	\$2,410

* A100 SXM pricing not available, using A100 PCIe 80GB pricing instead.
SXM price is typically more expensive than PCIe

** SRP captured from acmemicro.com as of Feb 22, 2022

AI Engine Delivers High Compute Efficiency

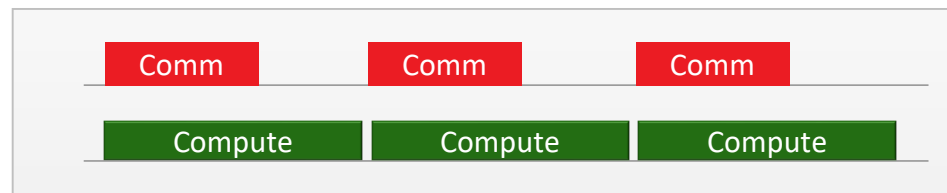
> Adaptable, ‘non-blocking’ interconnect

- » Flexible data movement architecture
- » Avoids interconnect “bottlenecks”

> Adaptable memory hierarchy

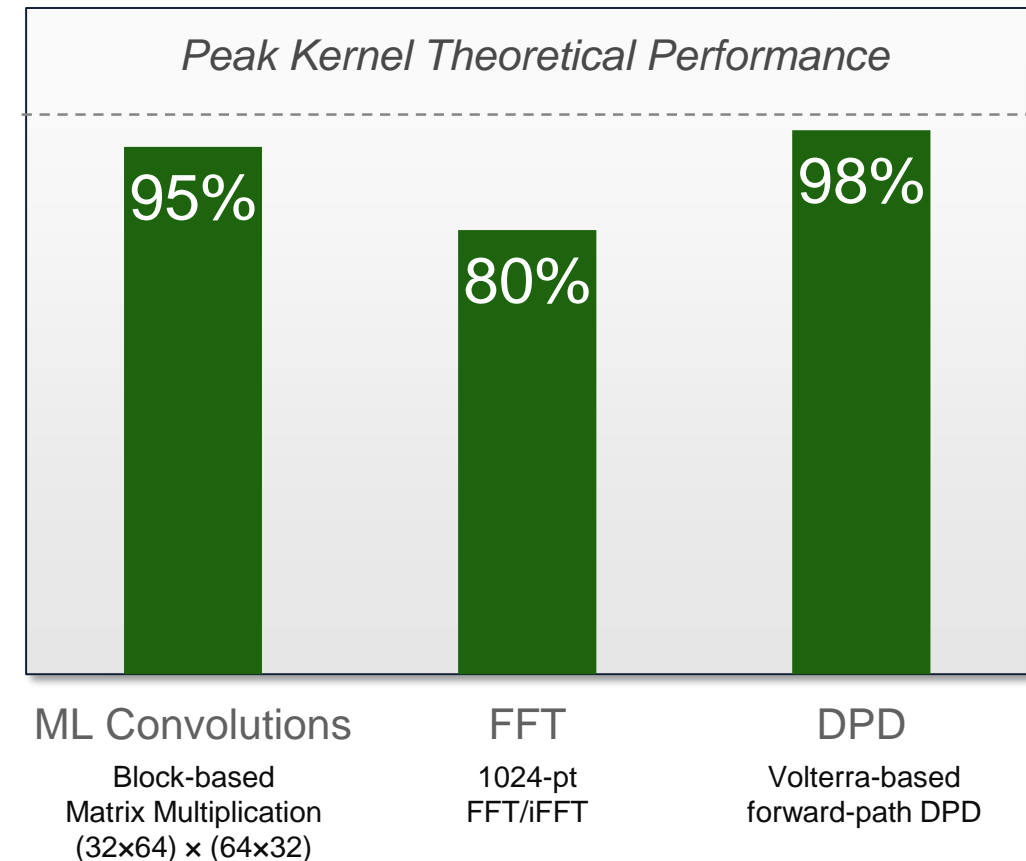
- » Local, distributed, shareable = extreme bandwidth
- » No cache misses or data replication
- » Extend to PL memory (BRAM, URAM)

> Transfer data while AI Engine Computes

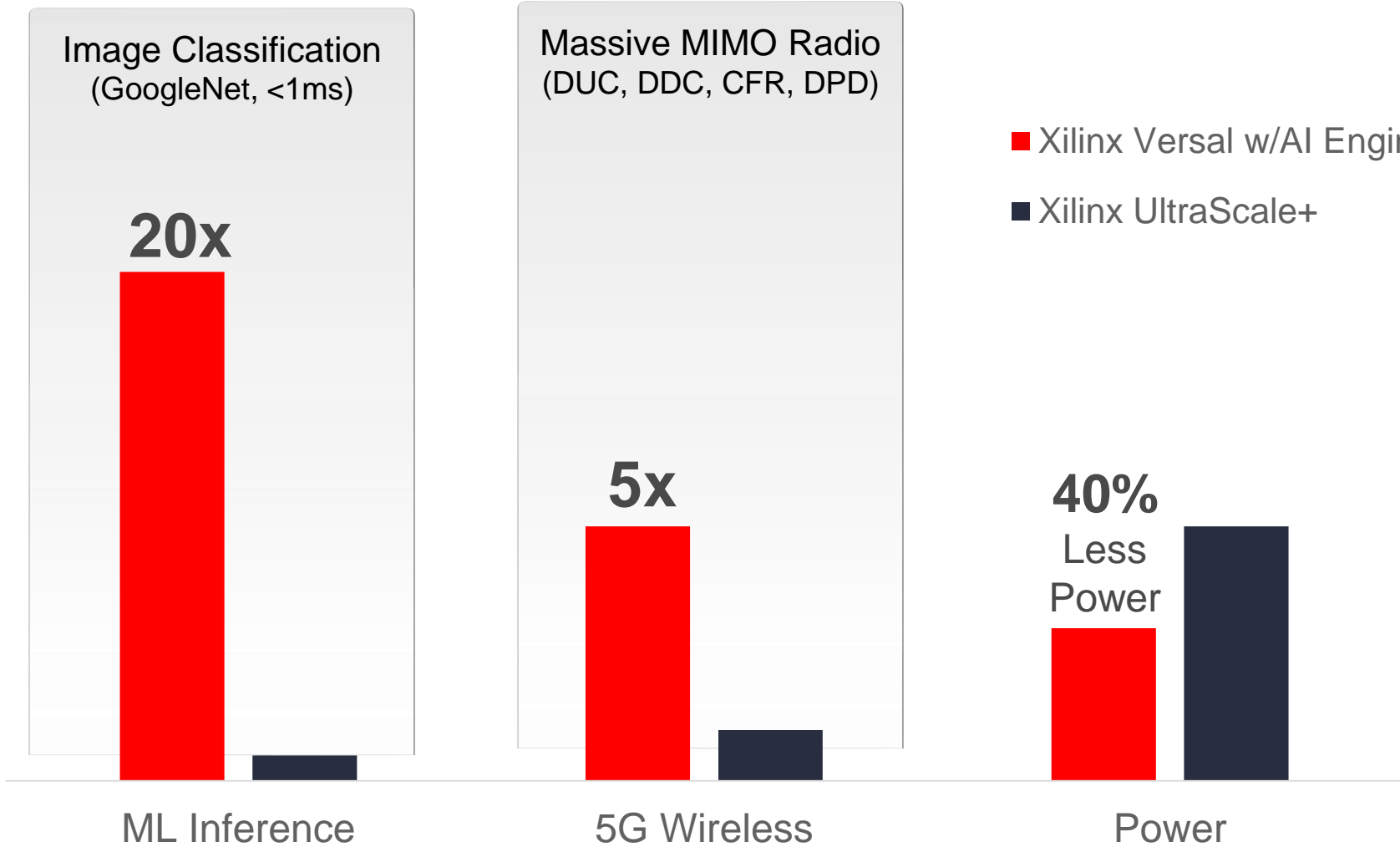


Overlap Compute and Communication

Vector Processor Efficiency



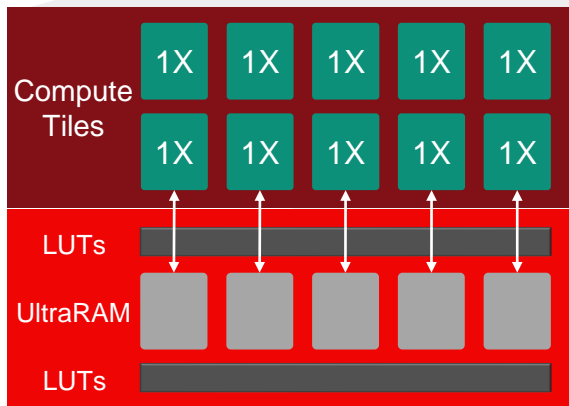
AI Engine Application Performance & Power Efficiency



Intelligent Engines Optimized for Any AI Application



AI Engine Architecture



- ▶ Optimized for signal processing AND ML
- ▶ Flexibility for high performance DSP applications
- ▶ Native support for INT8, INT16, FP32

AIE OPS / Tile AIE-ML

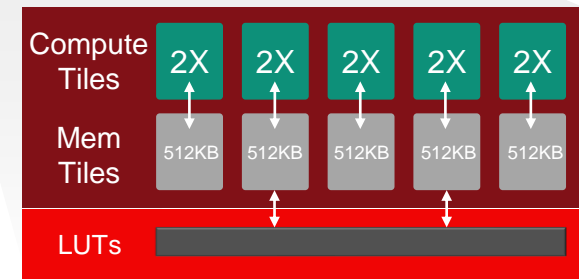
256	INT4	1024
256	INT8	512
64	INT16	128
16	bfloat16	256
16	INT32	
16	FP32	42*

KB / Tile

32	Data Memory	64
16	Program Memory	16

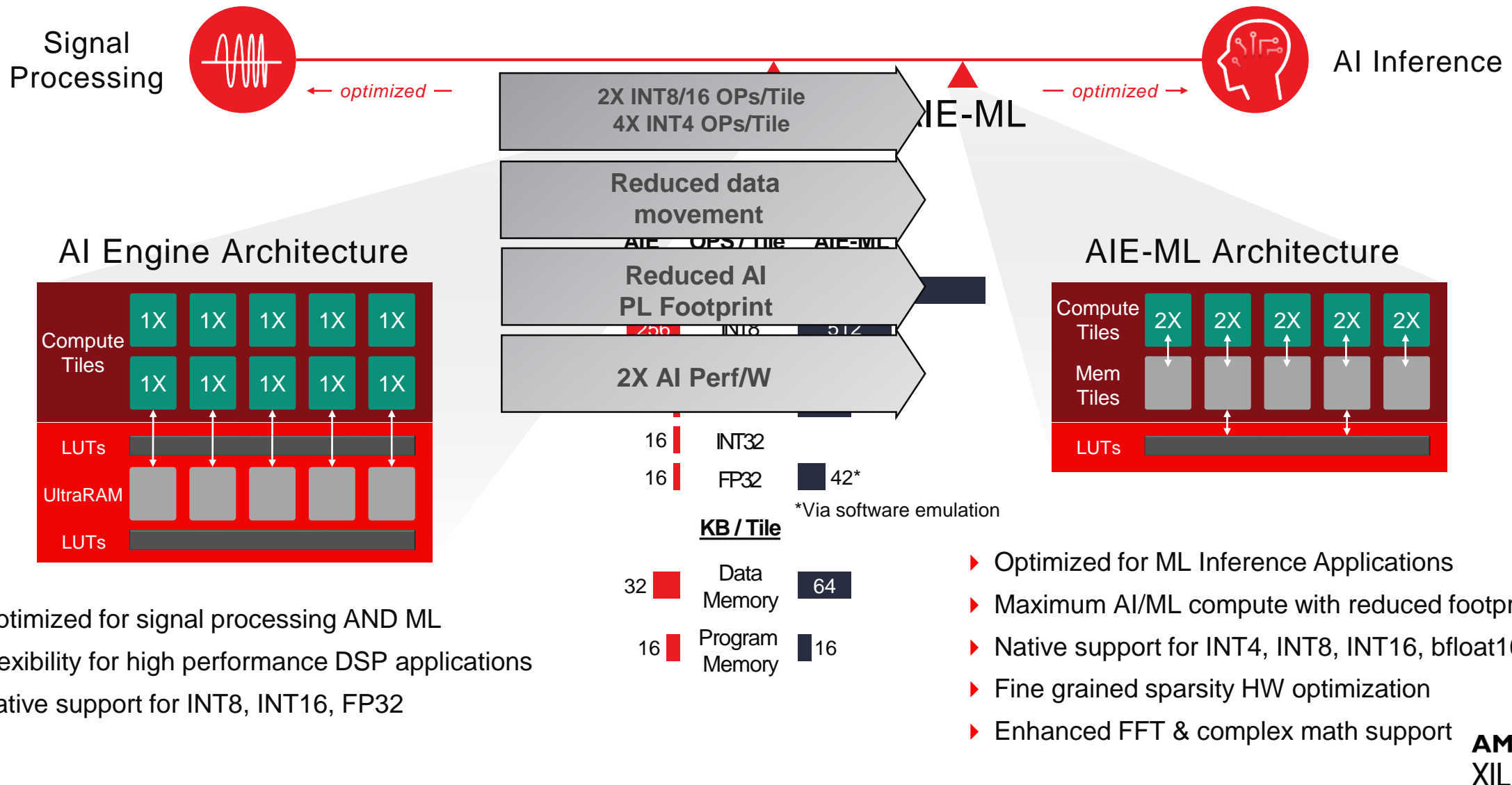
*Via software emulation

AIE-ML Architecture



- ▶ Optimized for ML Inference Applications
- ▶ Maximum AI/ML compute with reduced footprint
- ▶ Native support for INT4, INT8, INT16, bfloat16
- ▶ Fine grained sparsity HW optimization
- ▶ Enhanced FFT & complex math support

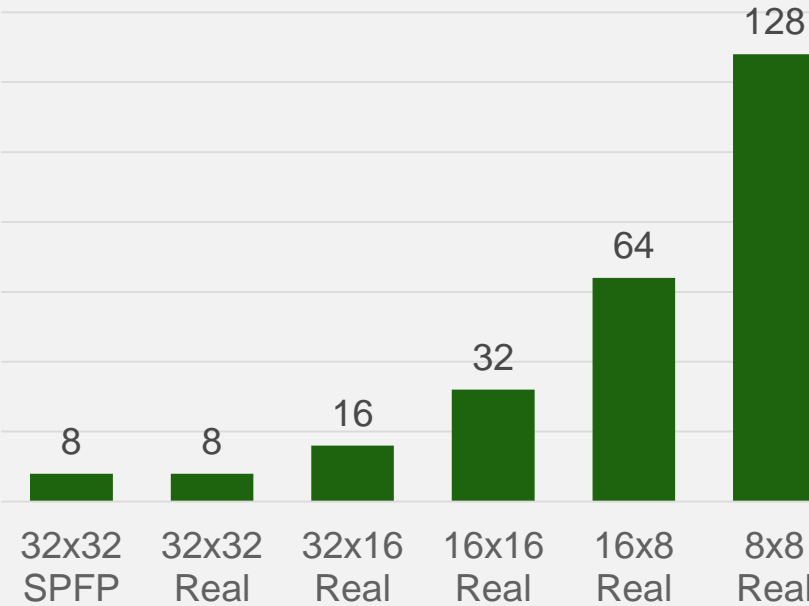
Intelligent Engines Optimized for Any AI Application



Multi-Precision Support (AIE)

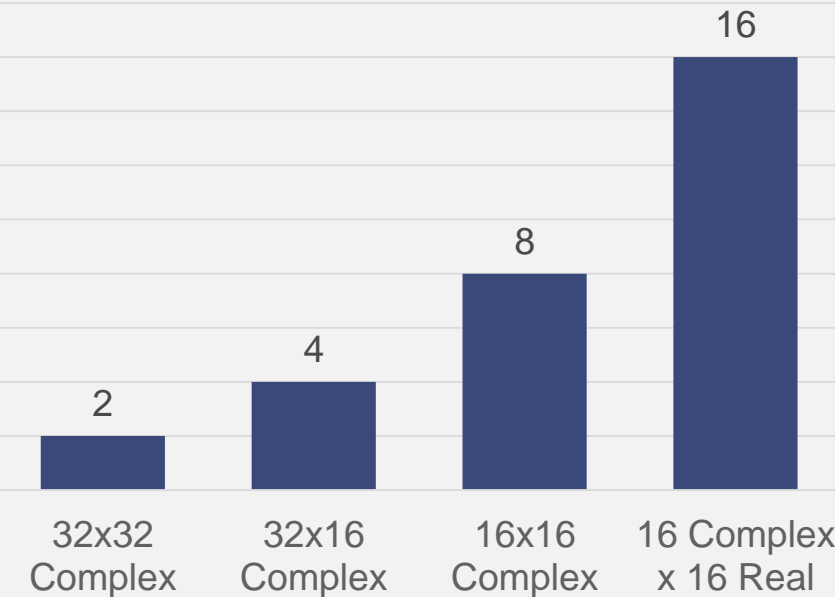
AI Data Types

MACs / Cycle (per core)

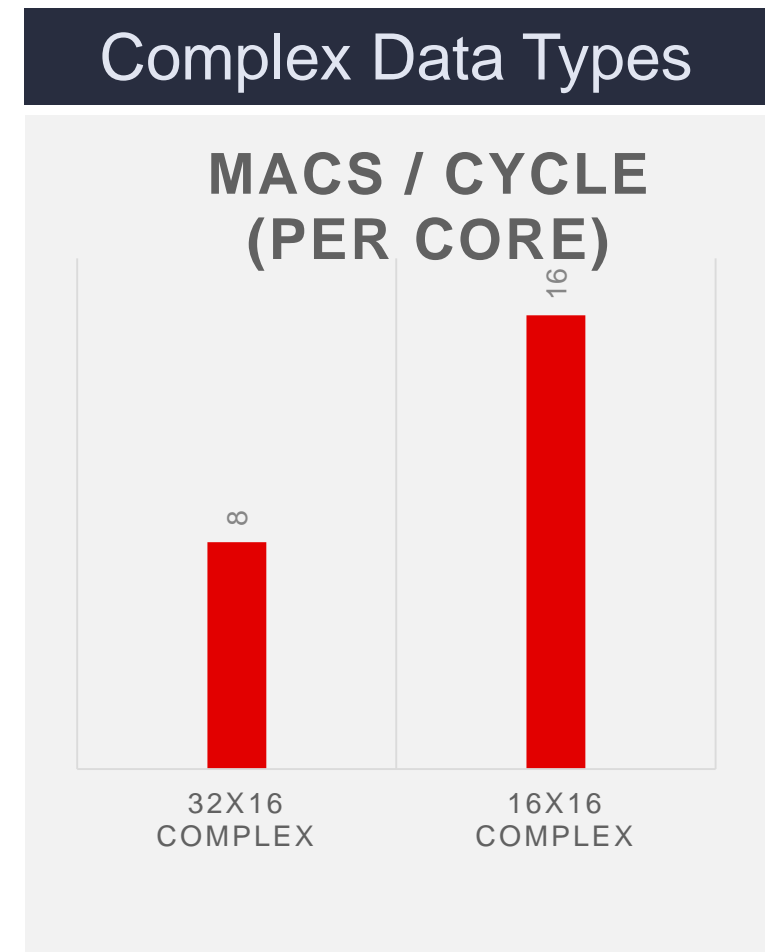
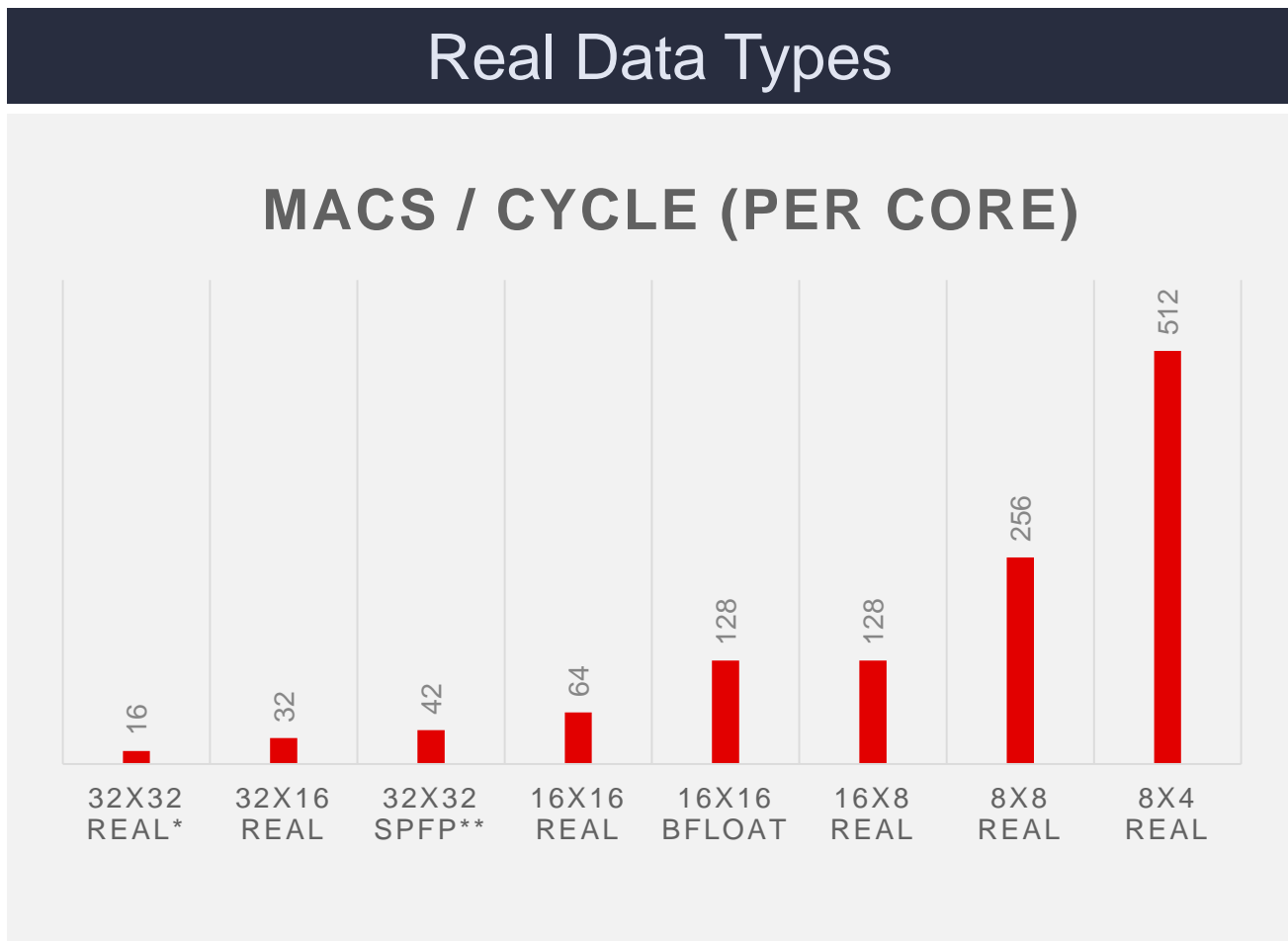


Signal Processing Data Types

MACs / Cycle (per core)



Multi-Precision Support (AIE-ML)



*32 Real X 32 Real is emulated

** 32 SPFP x 32 SPFP emulated using BFLOAT16 (following [this paper](#)). Not IEEE-754 compliant. Performances TBC

AI/MLに向けた幅広い製品群

The diagram illustrates the VERSAL AI Edge product line, showing a progression from left to right:

- Intelligent Edge Sensor & End Point:** VE2302
- Edge Aggregation & Autonomous Systems:** VE2802
- Accelerator:** (represented by a red arrow)

A dotted red line connects the two main products, with red circles marking the connection points.

	VE2302	VE2802
Engines		
AI Compute (INT8x4) ¹	67 TOPS	479 TOPS
AI Compute (INT8) ¹	31 TOPS	228 TOPS
AIE-ML Tiles	34	304
Adaptable Engines	150K LUTs	521K LUTs
Processing Subsystem	Dual-Core Arm® Cortex®-A72 Application Processing Unit / Dual-Core Arm Cortex-R5F Real-Time Processing Unit	
RAM		
Accelerator RAM (4MB)	✓	-
Total Memory	172Mb	575Mb
32G Transceivers	8	32
PCIe®	✓	✓ (PCIe gen5 w/ DMA)
Video Decode Unit (VDU)	-	4
Power ²	15-20W	75W

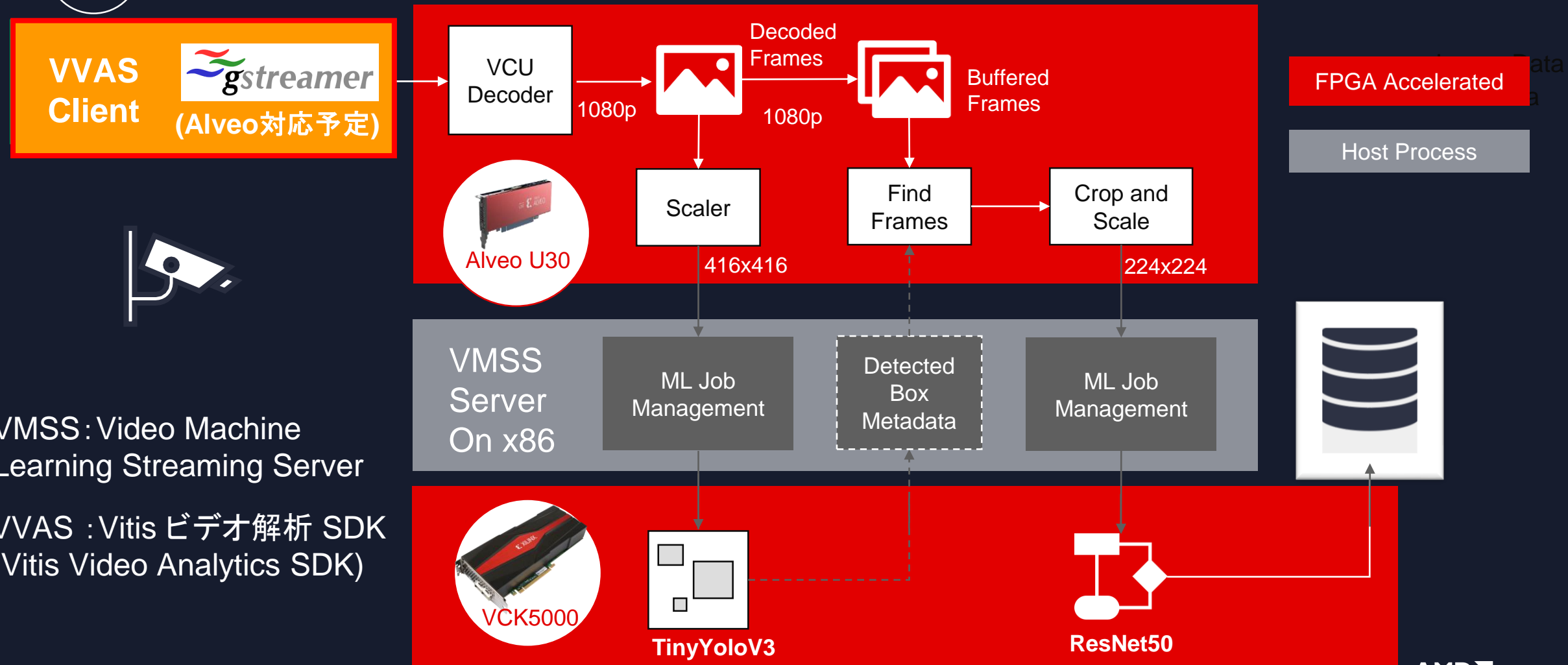
1: Total AI compute includes AI Engines, DSP Engines, and Adaptable Engines

41 2: Power Projections

フルソリューションスタックを提供 – 構築のステップ (2)

2

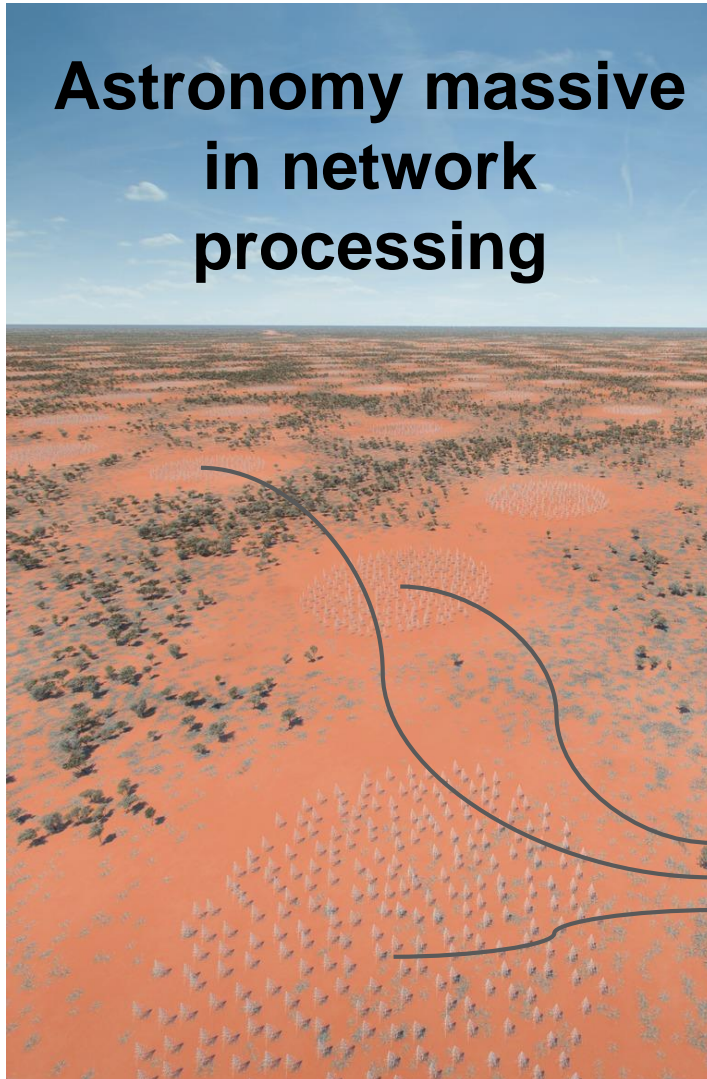
アプリケーション全体の流れをコンフィグレーション



ユースケース事例

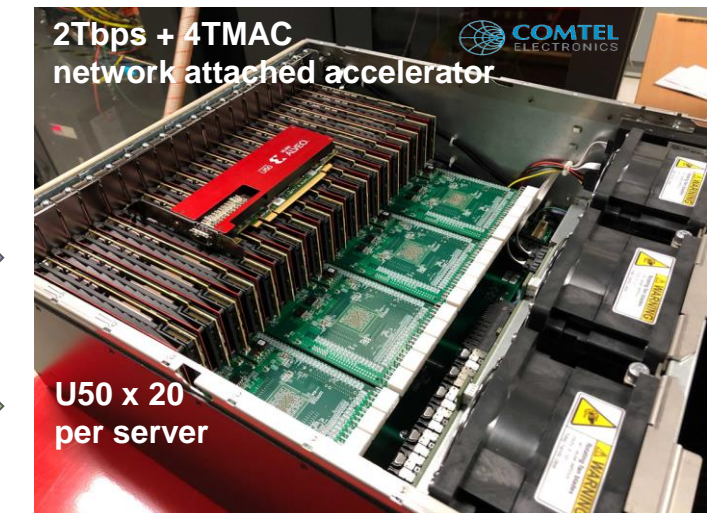
電波望遠鏡 分析システム

Square Kilometre Array Observatory (SKAO) Telescope



- ▶ ~15Tbps の継続的なデータフロー
- ▶ ~2 Peta オペレーション/秒
- ▶ 膨大なネットワークに接続されたアクセラレータ
 - ネットワークはデータ処理と同じくらい重要
 - 現状はネットワークスイッチの容量を上回る処理能力を有する
- ▶ 電力効率の高いコンピュートリソースとしてFPGAを選択
- ▶ データ移動の過程でデータをリアルタイムに処理

<https://comtel-online.com/>



AMD XILINX

HPC: 信号処理

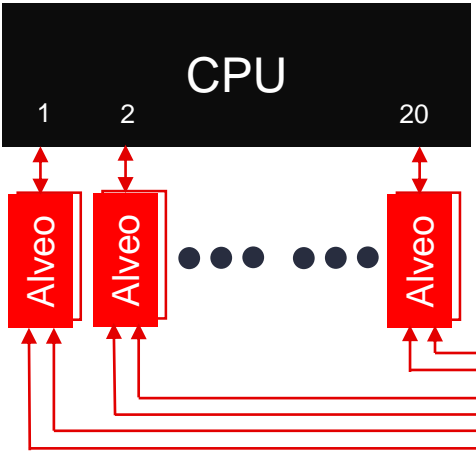
CSIRO

- 世界最大の電波天文用アンテナ アレイ
- 宇宙の起源に関する情報を収めるために設計
- テラビット/秒のセンサーデータをリアルタイム処理
- 420枚の Alveo を使用してリアルタイム分散処理
- リファレンス デザインを作成中

重要な要素

- 大規模なスケールアウト: 21 ノード、420 カード
- 高性能、低遅延: 15 テラビット/秒の処理
- 消費電力効率: ソーラー電源、90W/カード
- 高信頼性

Comtel Server with Alveo U55C



Comtel Server with V100

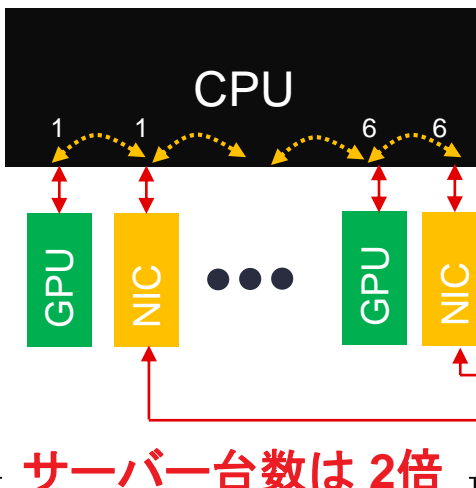
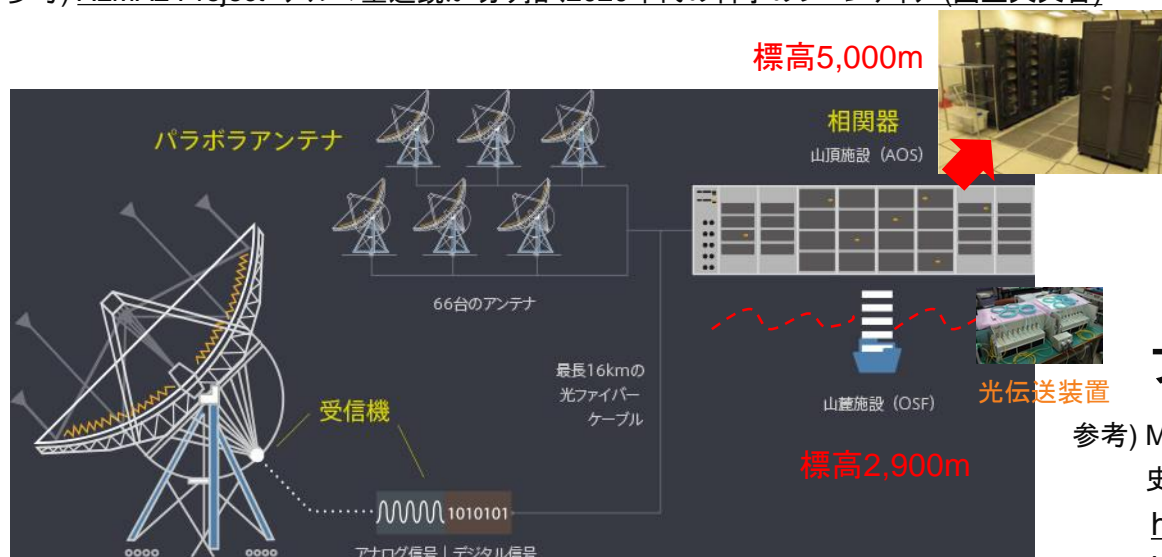




図1.1：アンテナが立ち並ぶアルマ望遠鏡山頂施設
Credit: Clem & Adri Bacri-Normier (wingsforscience.com) / ESO

参考) ALMA2 Project- アルマ望遠鏡が切り拓く2020年代の科学のフロンティア (国立天文台)



参考) アルマ望遠鏡とは <https://alma-telescope.jp/about>

国立天文台が中心となって開発したACA相関器 https://news.mynavi.jp/techplus/article/alma_project-9/



(Credit: NRAO/AUI/NSF)

ブラックホールの撮影に成功 (2019年4月10日)

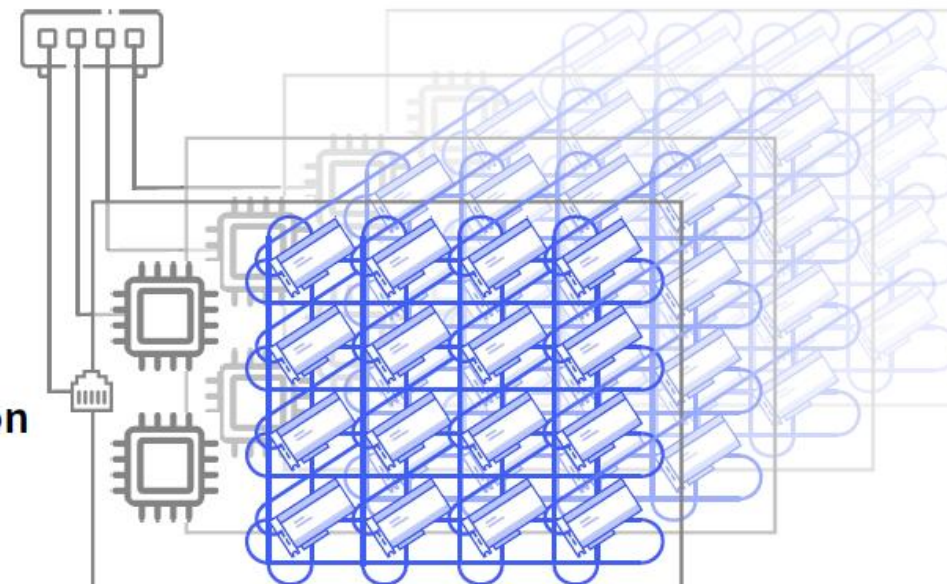
参考) M87ブラックホール撮影への道のり
史上初、ブラックホールの撮影に成功 <https://www.elecs.co.jp/news/blackhole.html>
<https://www.nao.ac.jp/news/science/2019/20190410-eht.html>
<https://iopscience.iop.org/article/10.3847/2041-8213/ab0c96>
<https://github.com/casper-astro/casper-hardware#casper-hardware>

YADDLE-MD

FPGA-based Molecular Dynamics Engine

YADDLE-MD is Snowlake's groundbreaking molecular dynamics engine. Deployed on Xilinx's powerful FPGA-based Alveo accelerator cards, the YADDLE-MD delivers extraordinary performance unmatched by competing architectures. Moreover, YADDLE-MD has outstanding efficiency and scalability.

- **10 Gbps Ethernet** between nodes
 - **On CPU side**
- No MD computing and communication
 - Dispatch
 - Monitoring
 - Collection



16 Alveo cards per node

- **200 Gbps 3D-Torus** cross-node interconnection between cards

On FPGA side

- Full MD computing and communication
 - Pair search
 - Bonded/Nonbonded
 - Long-range electrostatics
 - Integration
 - Constraints
 - Communication

YADDLE-MD

FPGA-based Molecular Dynamics Engine



HIGHLIGHTS



Fast

2.5 x



GPU
Performance



FPGA



Green



GPU
400 Watt



FPGA
100 Watt



Scalable



GPU
16



FPGA
Hundreds

When clustered



Molecular Dynamics



Molecular dynamics modeling is used in drug research and discovery



<http://www.ks.uiuc.edu/Research/namd/benchmarks/>

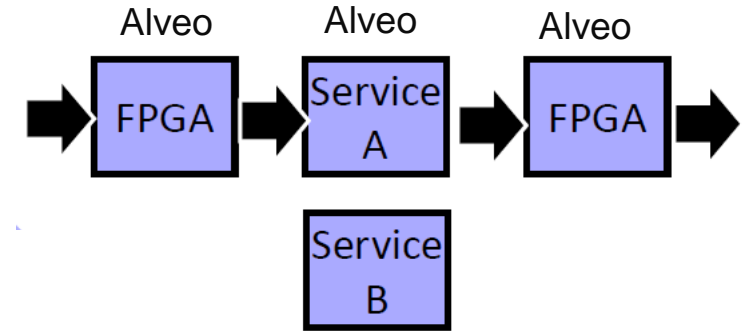
Cascaded FPGA Accelerator with PTU (Protocol Termination Unit ; TCP/IP Offload Engine)



FPGA 处理の高速なディスアグリゲーションを容易に実現する技術

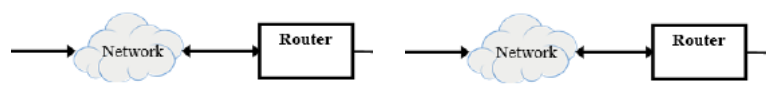
Multiple FPGAs are connected via Ethernet (25G/100G) without any interaction with its host PCs.

=> CPUに負荷無くノード間で高速なネットワーク伝送



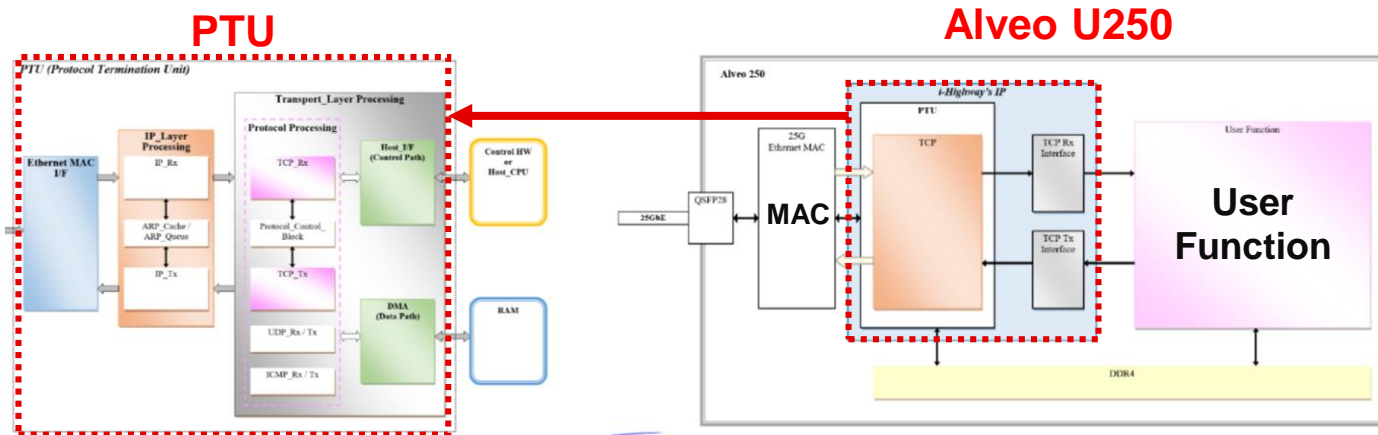
Whole HW Implemented TCP/IP stack with security features

=> 安定した低レイテンシーの実現 かつ パケット損失なし

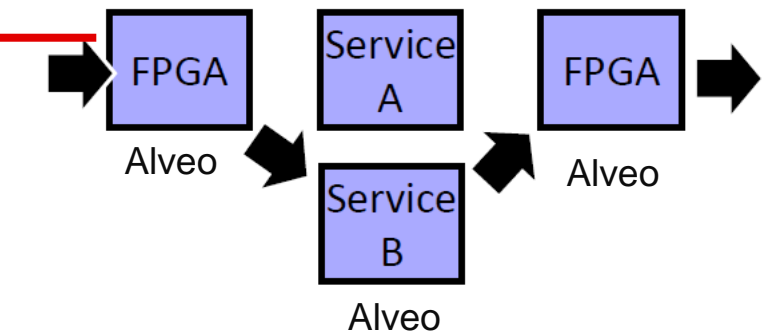


Multiple TCP Sessions (over 10,000) which allows each Data Flow to be conveyed in individual TCP Session

=> 高度なスケーラビリティ



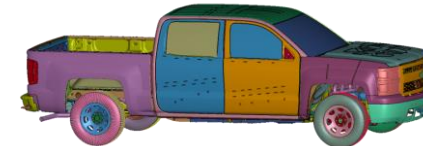
Dynamic Service Switch



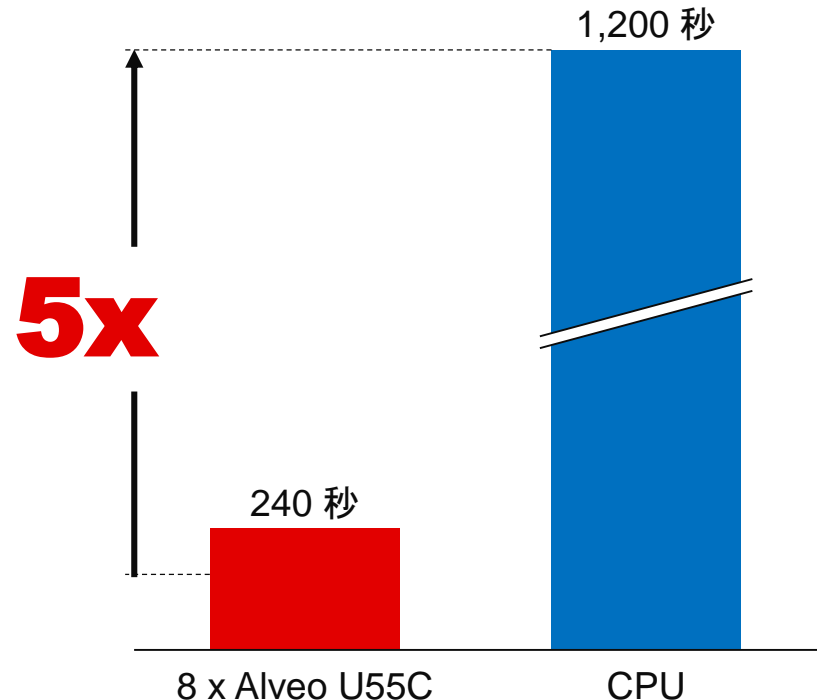
HPC: コンピューター支援エンジニアリング (CAE)

Ansys LS-DYNA

- ▶ LS-DYNA: 有限要素プログラム (FEM)
 - FEM を使用して現実世界の製品性能をシミュレーション
 - 無限の複雑性をもつシミュレーションを作成
- ▶ 大規模シミュレーションは CPU では数週間必要
フォンノイマン アーキテクチャの限界
 - データ幅が固定 => データアクセス効率の低下、データ待ち時間はクロック、コンピュートリソースを浪費
 - オンチップ キャッシュのサイズは有限 => 大きなデータは外部のメモリアクセスが必要 = 性能劣化、消費電力増大
- ▶ Alveo U55C はフォンノイマンの限界を超える
 - データは機能ブロック間をパイプライン状にストリーミング
 - データバス幅、データムーバ、メモリ階層構造をカスタマイズし最適なデータパイプラインを構築
 - 16GB HBM2 メモリ (32 HBM channels @ 460GB/s) をシングルデバイスに内蔵 = 大きなデータも外部メモリアクセスは不要
 - LS-DYNAのユースケースではCPUの5倍の性能を実現



- National Crash Analysis Center による Silverado モデル
- 700k の要素 (大部分はシェル + ソリッドとビーム)
- 膨大なコンピュート負荷



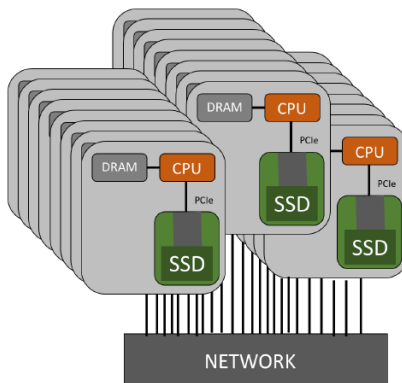
行列の大きさ -> 12M
nnzs: 非ゼロ要素の数 -900M
時間 (秒): JPCG ソルバーの実行時間
CPU モデル: インテル Xeon Platinum 8260L @2.4GHz, 1.5TB メモリ

LEWIS RHODES LABS –NPUsrch™ Integrated Search-in-Storage on Samsung SmartSSD® CSDs powered by Xilinx FPGAs

Neuromorphic Processing Unit (NPU) is the core of NPUsrch. Designed with the fine grain parallelism, hierarchical structure, it is highly efficient pattern matcher to accurately and rapidly scan data. Full content search of unindexed data is regex accessible via JupyterNotebook or other Python-based interface.

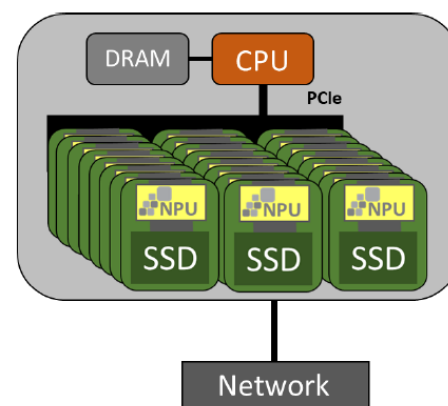


CPU based architecture

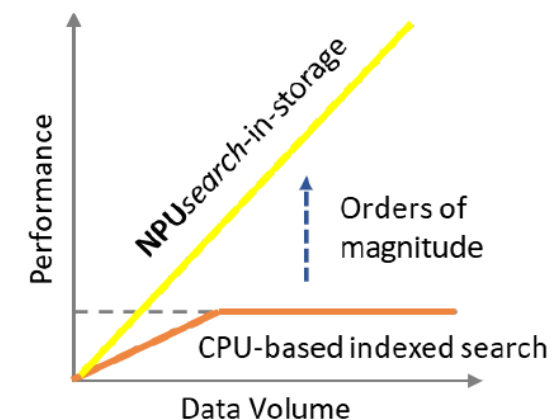


- > Inconsistent search capacity
- > CPU-intensive cost profile
- > Move all data to CPU to search
- > Heavy network requirements
- > High volume of data flow
- > Unable to scale performance

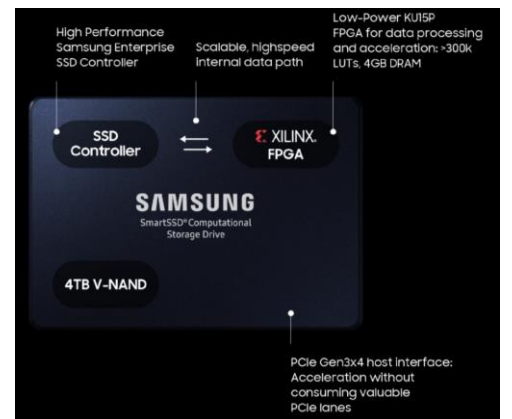
NPU search-in-storage architecture



- > Rapid, deterministic search
- > Reduce CPU costs
- > Move only data of interest
- > Light network demands
- > Minimize data flow
- > Scalable search capacity
- > Lower power consumption



96TB NPUsrch storage appliance



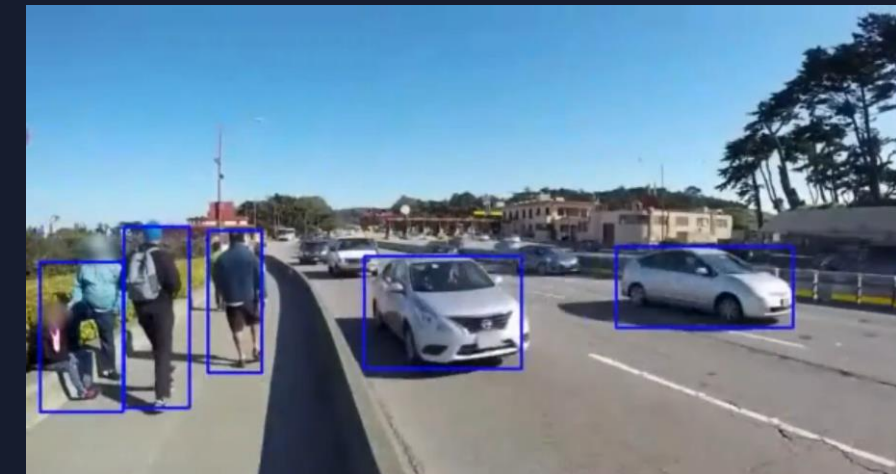
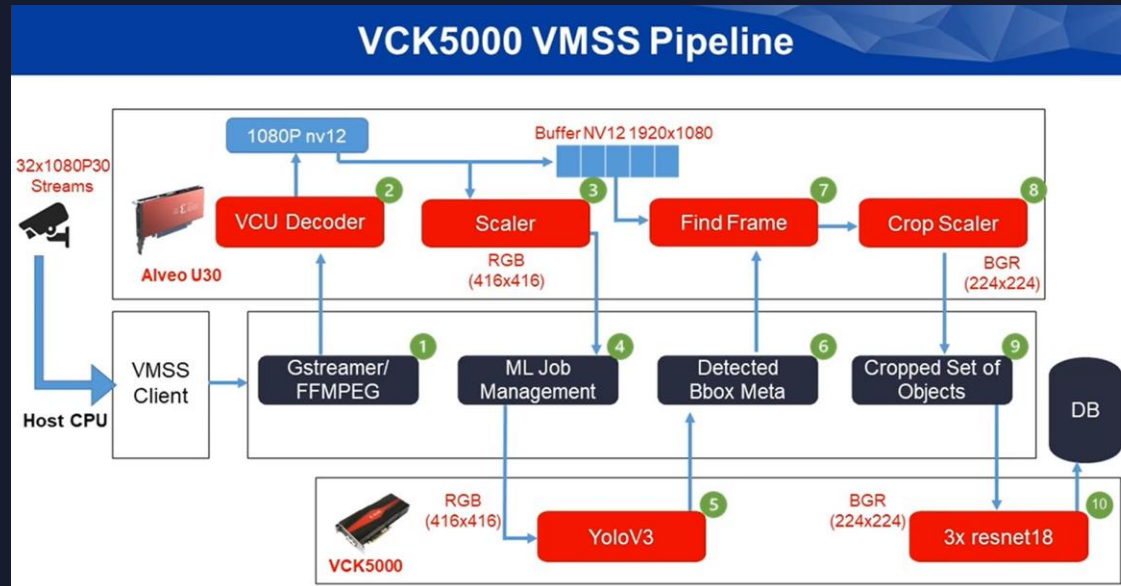
AMD
XILINX

Aupera社 インテリジェントビデオ解析ソリューション



<https://japan.xilinx.com/products/boards-and-kits/vck5000.html>

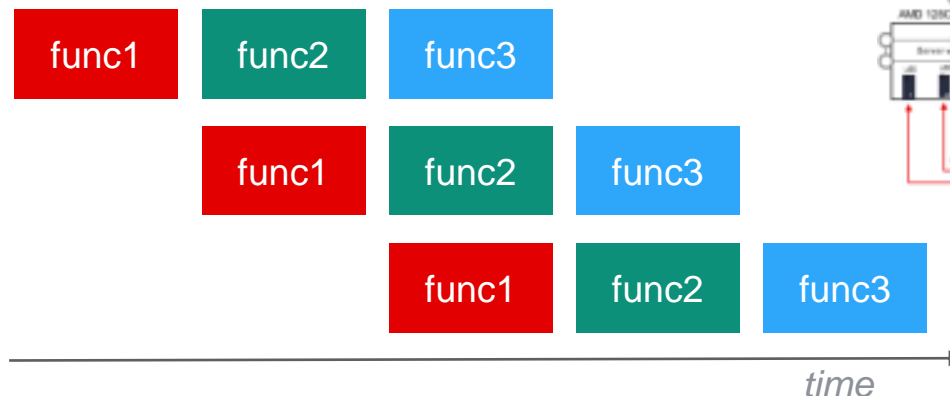
Aupera VMSS (Video Machine Learning Streaming Server)ソリューションは複数のフル HD カメラからの高密度映像ソースをサポートし、オブジェクトの識別と分類を実行します。複数の推論モデルを同時に実行可能で、確定的かつ低レイテンシーで精度の高い結果を出力します。業界最小のコスト (TCO) を実現できることが特徴です。



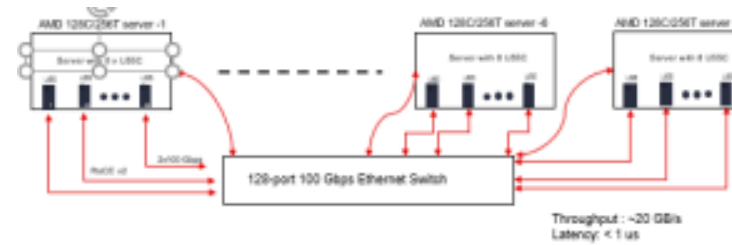
まとめ

AMD Alveo Parallelism

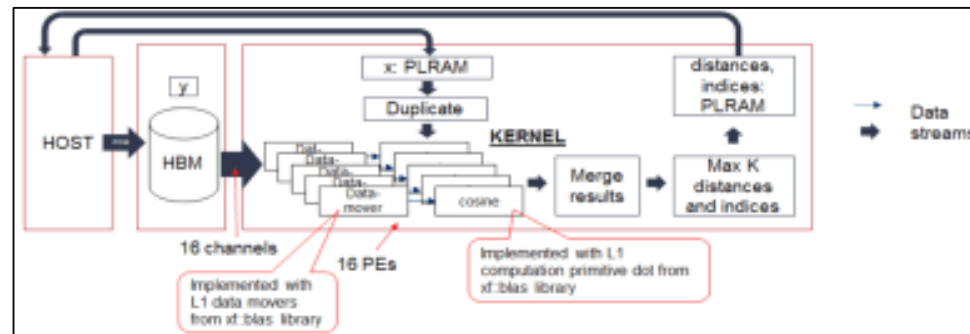
Function level Pipelining



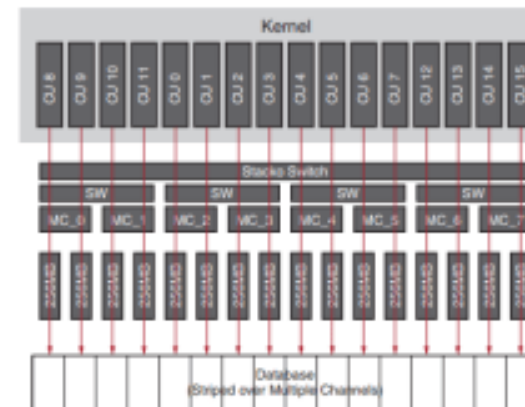
Natively networkable for scale-out



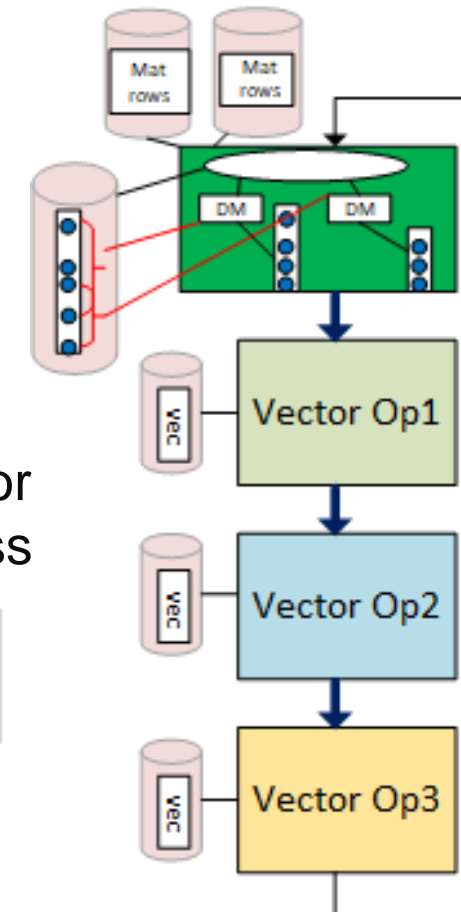
Large number of Compute elements and Custom super efficient circuits



32 memory channels for parallel stall-free access



Custom Data Width and Movement



まとめ

- ▶ FPGAとそのクラスタによる効果といくつかのユースケースについて触れた
- ▶ 以下の特徴を生かすことでパフォーマンス、消費電力、コストに有効
 - Memory vs Cache
 - Heterogeneous device architecture (Versal AIE/AIE-ML)
 - Flexible Data width/type, data type optimization, data movement optimization
 - Pipeline
 - Massive parallelism
 - Direct network
 - Compute near data
- ▶ 設計の容易さを推進
 - Alveo, Versal, Vitis, HLS, Silexica, ライブラリ, Model Composer, ACCL (MPI-Like), ...



Thank You

Disclaimer and Attribution

The information contained herein is for informational purposes only and is subject to change without notice. While every precaution has been taken in the preparation of this document, it may contain technical inaccuracies, omissions and typographical errors, and AMD is under no obligation to update or otherwise correct this information. Advanced Micro Devices, Inc. makes no representations or warranties with respect to the accuracy or completeness of the contents of this document, and assumes no liability of any kind, including the implied warranties of noninfringement, merchantability or fitness for particular purposes, with respect to the operation or use of AMD hardware, software or other products described herein. No license, including implied or arising by estoppel, to any intellectual property rights is granted by this document. Terms and limitations applicable to the purchase or use of AMD's products are as set forth in a signed agreement between the parties or in AMD's Standard Terms and Conditions of Sale. GD-18

© Copyright 2021 Advanced Micro Devices, Inc. All rights reserved. Xilinx, the Xilinx logo, AMD, the AMD Arrow logo, Alveo, Artix, Kintex, Kria, Spartan, Versal, Vitis, Virtex, Vivado, Zynq, and other designated brands included herein are trademarks of Advanced Micro Devices, Inc. Other product names used in this publication are for identification purposes only and may be trademarks of their respective companies.

